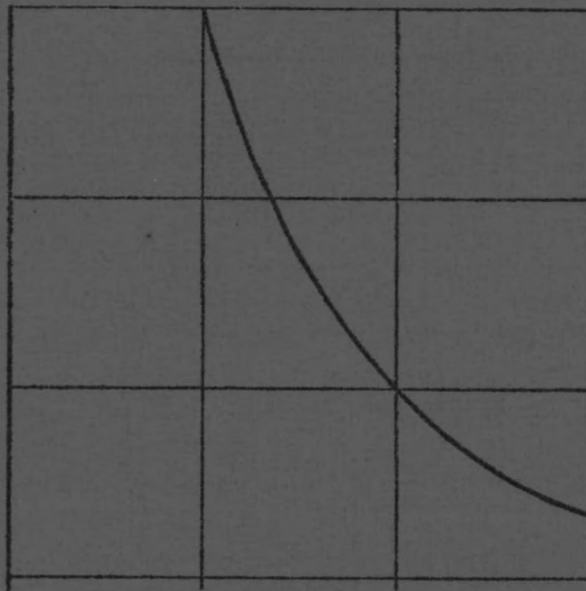


# Technische Hogeschool Delft

Afdeling Civiele Techniek

*Bijlagen*

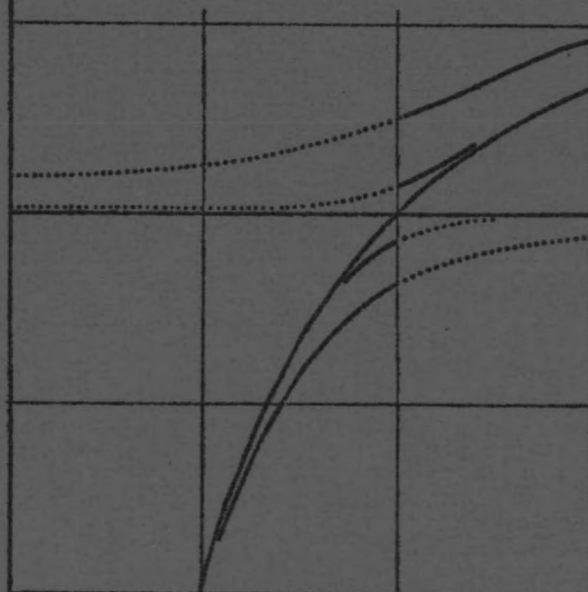


Afstudeeronderwerp

Legen van een zandvang

H.J. van Ieperen

Bijlagen



Juli 1979

LEGEN VAN EEN ZANDVANG

BIJLAGEN

H.J. van Ieperen

TECHNISCHE HOGESCHOOL DELFT

Afdeling Civiele Techniek...

Vakgroep Vloeistofmechanica

## Bijlagen

	blz.
1.1 Spoelinrichtingen in irrigatiekanalen	1.1
1.2 Vergelijking coëfficiënt van Chezy en ruweids- waarde van Strickler	1.4
2.1 Theorie van de karakteristieke methode	2.1
2.2 Afleiding van de continuïteitsvergelijkingen	2.5
2.3 Afleiding van de bewegingsvergelijking	2.7
2.4 Uitwerking van de determinant $D=0$	2.9
2.5 Uitwerking van de determinant $D_{II}=0$	2.11
2.6 Compatibiliteitsvoorwaarde langs $dt=0$	2.13
2.7 Omwerking van de basisvgl.'n tot een stelsel P.D.V.'n met dimensieloze grootheden	2.14
2.8 Karakteristieke richtingen van het instationaire stelsel	2.16
3.1 Onderzoek naar het gedrag van de functie $g(\phi)$	3.1
4.1 Compatibiliteitsvoorwaarden geschreven als combi- natie van de basisvergelijkingen	4.1
4.2 Karakteristieke berekening met een rechth. rooster	
4.2.1 Berekening van de karakteristieke richtingen	4.2
4.2.2 Bepalen van $u$ , $a$ en $z$ op het niveau $t+\Delta t$	4.3
4.2.2.1 Veldpunten	4.3
4.2.2.2 Randpunten t.p.v. de spoelsluis	4.6
4.3 Benadering van de wortels van de kar. vgl. voor $F=1$	4.7
4.4 Dimensieloze grootheden	4.10
5.1 Onderzoek naar de mogelijkheid om de continuïteits- vergelijkin voor het sediment expliciet te nemen	5.1
5.2 Het lineariseren van de P.D.V.'n	5.4
5.3 Amplificatiefactor en relatieve snelheid	5.6
5.4 Golfvoortplanting	5.8
5.5 Voortplanting bodemstoring	5.9
5.6 Computerprogramma	5.10
6.1 Hoeveelheid zand bijgemaakt door aanpassing aan vaste bodem	6.1
6.2 Berekening II	6.2
6.3 Berekening IV	6.3
6.4 Invloed beginvoorwaarden op debiet en zandtransport	6.4
6.5 Berekening VI en VIII	6.5

BIJLAGE 1.1

SPOELINRICHTINGEN IN IRRIGATIEKANALEN I

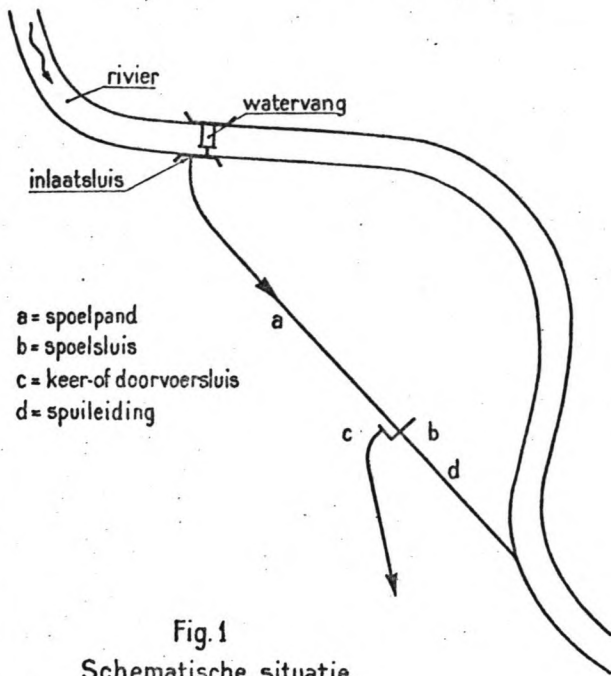


Fig. 1

Schematische situatie.

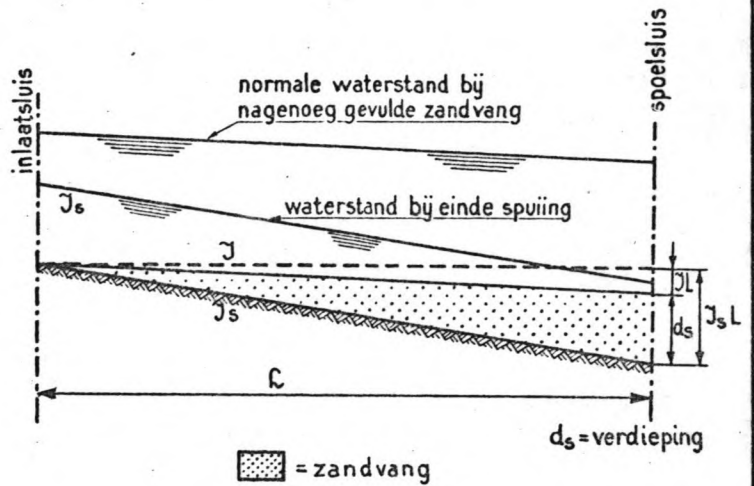


Fig. 2

Schematisch lengteprofiel.

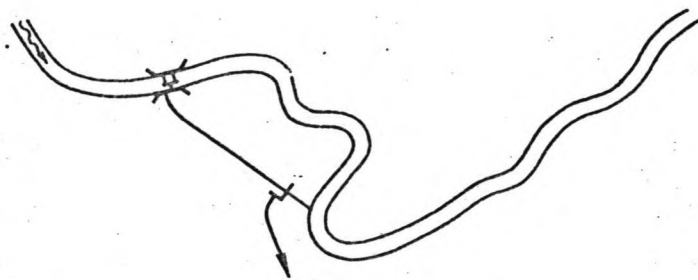


Fig. 3

Voorbeeld van feitelijk te korte zandvang.

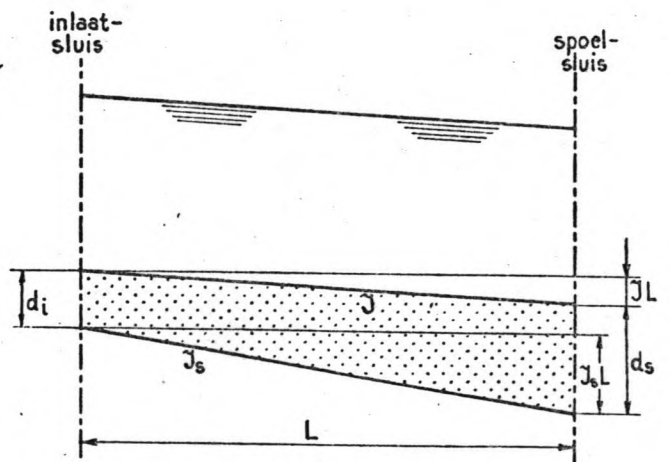
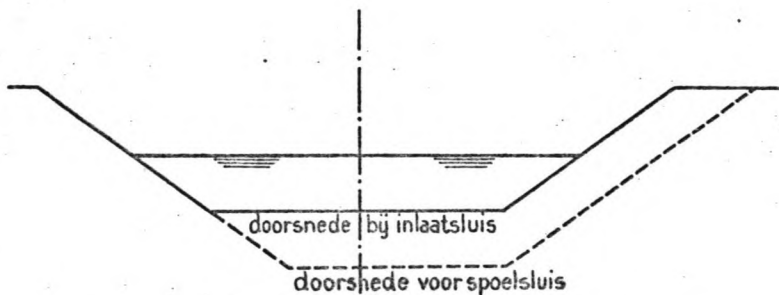


Fig. 4

Oplossing, waarbij de zandvang reeds bij de inlaatsluis een zekere diepte heeft.



Oplossing met verlenging van de taluds

Oplossing, waarbij zandvang over gehele lengte de zelfde breedte behoudt

Fig. 5

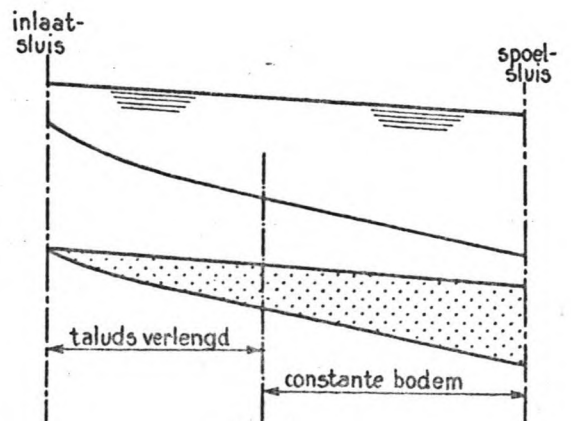


Fig. 6

Combinatie-oplossing (lengteprofiel)

SPOELINRICHTINGEN IN IRRIGATIEKANALEN II

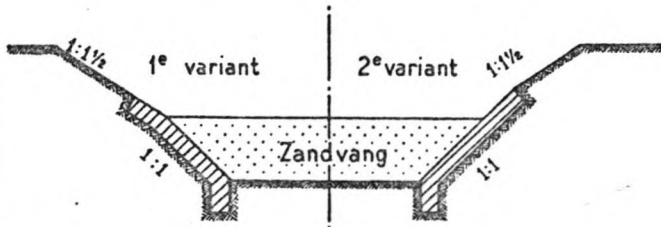


Fig. 7

Zandvang kan steilere taluds hebben, aangezien wanden steeds bekleed zijn.

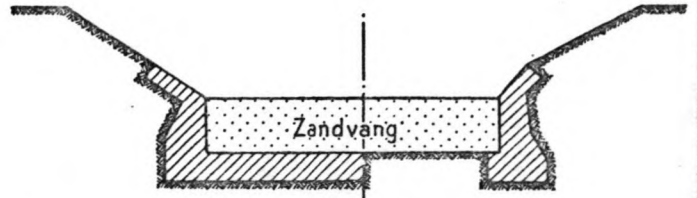


Fig. 8

Zandvang begrensd door verticale keermuurtjes, al of niet met bodembemetseling.

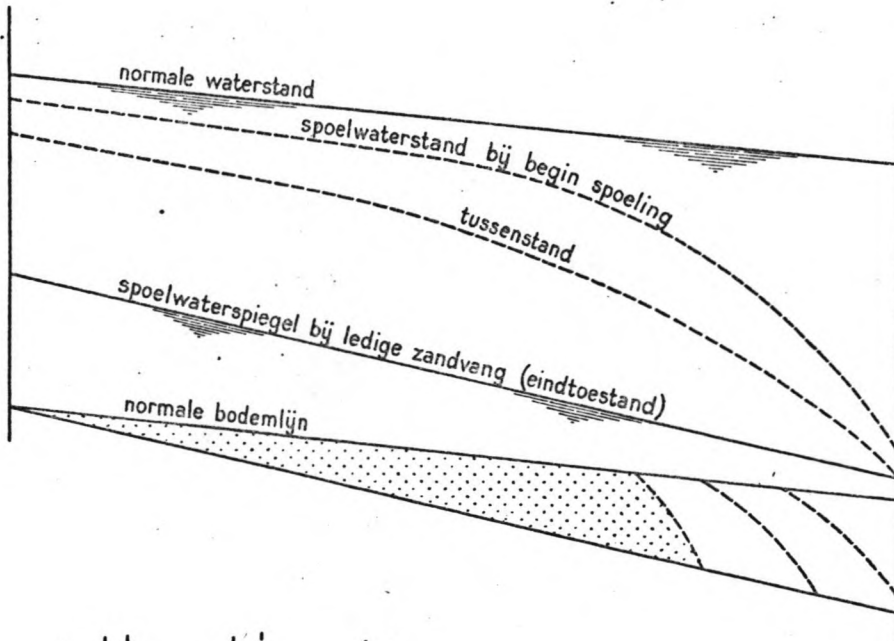


Fig. 9  
Gang van zaken tijdens het spoelen

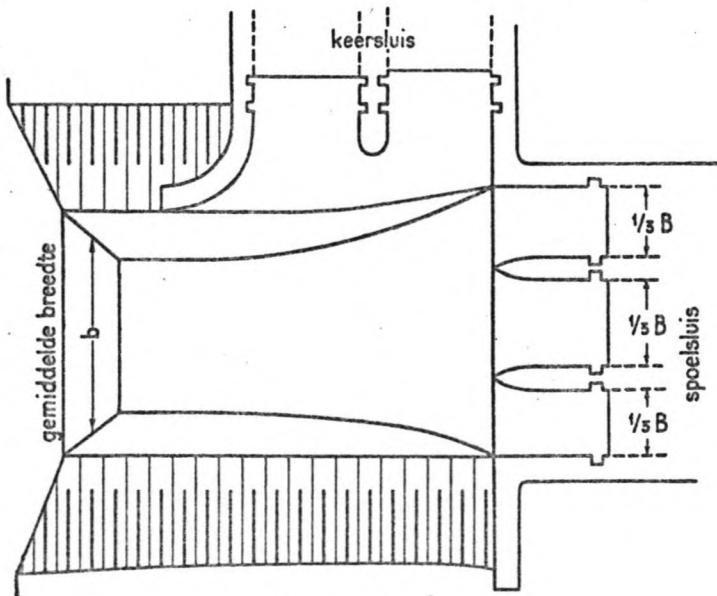


Fig. 10

Spoelsluis in het verlengde van het spoelpand

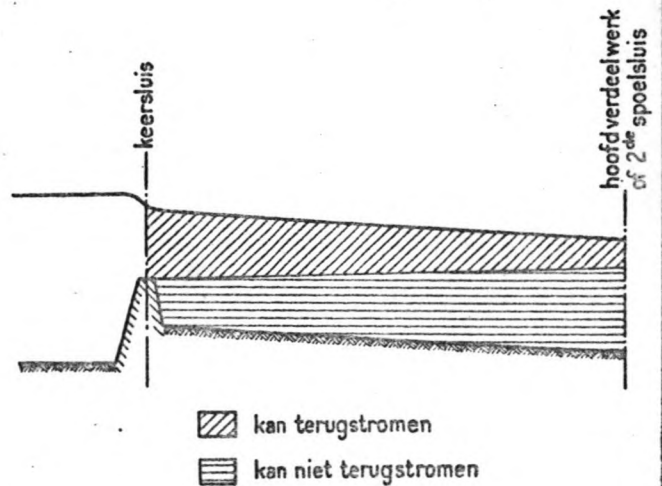
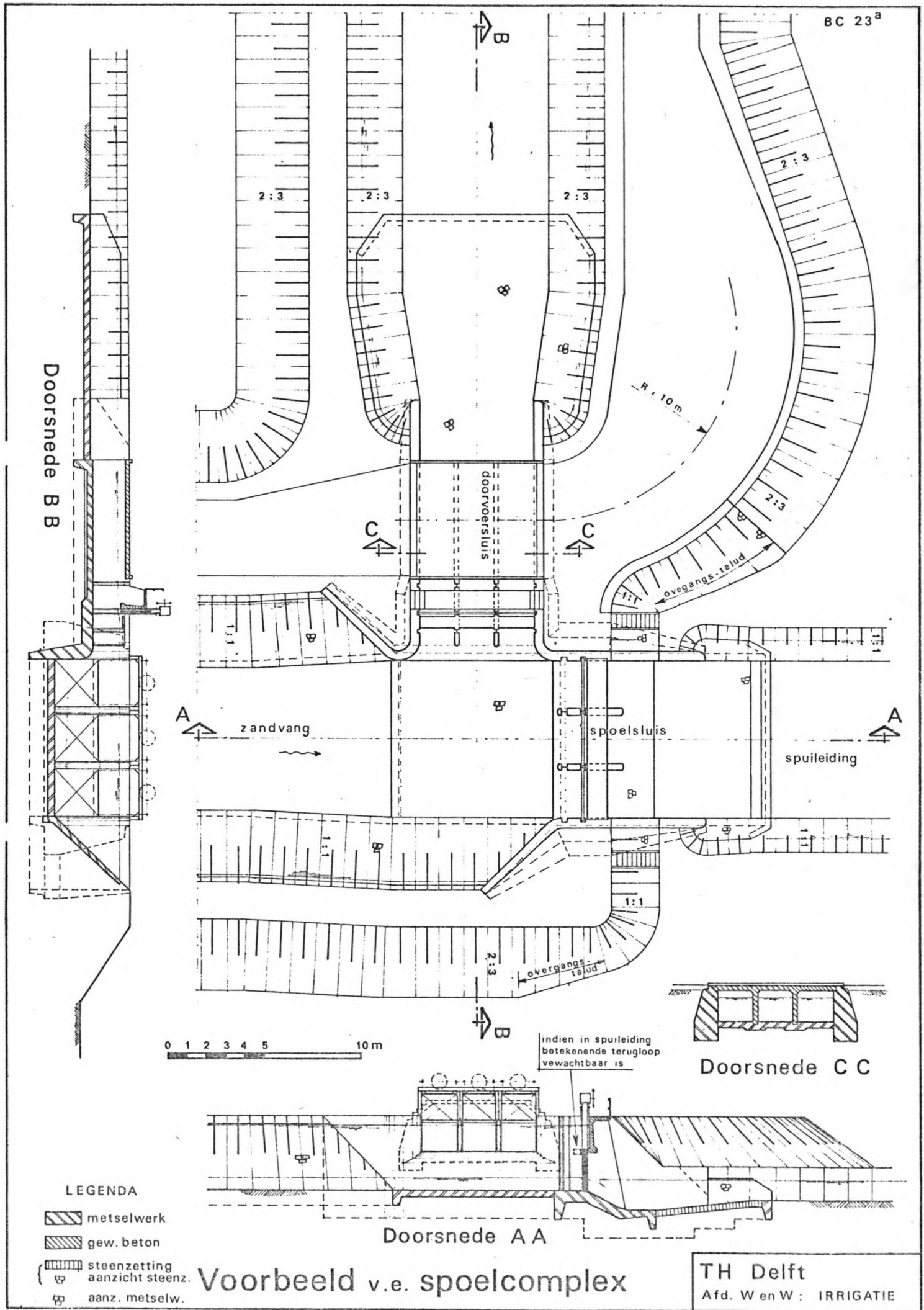


Fig. 11

Schematisch lengteprofiel over hoofdkanaal achter een keersluis, die als overlaat is ingericht.



BIJLAGE 1.2

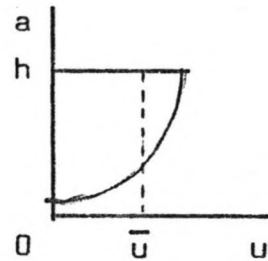
Bepaling van de coëfficiënt van Chezy met de logaritmische snelheidsverdeling en vergelijking met de ruwheid volgens Strickler.

Logaritmische snelheidsverdeling:  $u = \frac{u_*}{\kappa} \cdot \ln \frac{a}{a_0}$  (1)

de gemiddelde snelheid  $\bar{u}$  wordt nu:

$$\bar{u} = \frac{1}{h-a_0} \cdot \int_{a_0}^h u \, da$$

$$= \frac{a_0}{h-a_0} \cdot \frac{u_*}{\kappa} \cdot \left\{ \frac{h}{a_0} \cdot \ln \frac{h}{a_0} - \frac{h}{a_0} + 1 \right\}$$



vanwege  $h \gg a_0$  geldt:

$$\bar{u} \approx \frac{u_*}{\kappa} \left\{ \ln \frac{h}{a_0} - 1 \right\}$$
 (2)

Stel dat voor  $a = a_1$  geldt  $u = \bar{u}$  dan volgt uit (1) en (2) dat  $a_1 = h/e$  met  $e = 2.718\dots$

dus  $\bar{u} = \frac{u_*}{\kappa} \cdot \ln \frac{h/e}{a_0}$  (3)

$$\left. \begin{aligned} \bar{u} &= C \cdot \sqrt{h \cdot i} \\ u_* &= \sqrt{g \cdot h \cdot i} \end{aligned} \right\} \Rightarrow \bar{u} = \frac{C}{\sqrt{g}} \cdot u_*$$
 (4)

Uit (3) en (4) volgt dat  $C = \frac{\sqrt{g}}{\kappa} \cdot \ln \frac{h/e}{a_0}$

Stel  $a_0 = \frac{k_N}{30.2} = \frac{d_{90}}{30.2}$  (ruwheid volgens Nikuradse)

dan  $C = \frac{\sqrt{g}}{\kappa} \cdot \ln \frac{30.2 h}{d_{90} e}$

$$= \frac{\sqrt{9.812}}{0.4} \left\{ \ln \frac{h}{d_{90}} + 2.47 \right\}$$

$$= 18 \cdot \log \frac{12 h}{d_{90}}$$

Vergelijking met  $\bar{u} = k_s \cdot h^{2/3} \cdot i^{1/2} = k_s \cdot \frac{h^{1/6}}{\sqrt{g}} \cdot u_*$

De coëfficiënt  $k_s$  kan geschreven worden als (lit. 1.2)

$$k_s = \frac{1}{0.04168 d_{65}^{1/6}} = 21.5 \left( \frac{1}{k_N} \right)^{1/6}$$

waaruit volgt dat  $\bar{u} = 21.5 \left( \frac{h}{k_N} \right)^{1/6} \cdot h^{1/2} \cdot i^{1/2}$

Vergelijking door berekening geeft nu:

$h/k_N$	$21.5 \times (h/k_N)^{1/6}$	$18 \times \log 12 h/k_N$
$10^4$	99.84	91.43
$10^3$	68.02	73.43
$10^2$	46.34	55.43
$10^1$	31.57	37.42



BIJLAGE 2.1

Theorie van de karakteristieke methode.

Het proces dat zich afspeelt in een zandvang tijdens het legen kan beschreven worden door drie partiële differentiaalvergelijkingen (P.D.V.'n). De drie vergelijkingen zijn:

1. de bewegingsvergelijking
2. de continuïteitsvergelijking voor water en sediment
3. de continuïteitsvergelijking voor het sediment.

De drie samen vormen de basisvergelijkingen met drie afhankelijke variabelen, te weten:

1. stroomsnelheid  $u$
2. waterdiepte  $a$
3. bodemhoogte  $z$

en twee onafhankelijke variabelen, namelijk:

1. plaatscoördinaat  $x$
2. tijdstip  $t$ .

In het onderstaande zal aangegeven worden hoe met behulp van de karakteristieke methode de afhankelijke variabelen in het algemeen bepaald kunnen worden. De grondbegrippen die van belang zijn zullen daarbij ter sprake komen, voor het overige wordt verwezen naar de literatuur (lit. 2.8 t/m 2.12).

De genoemde P.D.V.'n kunnen in zijn algemene vorm geschreven worden als:

$$A_1 \frac{\partial u}{\partial t} + B_1 \frac{\partial u}{\partial x} + C_1 \frac{\partial a}{\partial t} + D_1 \frac{\partial a}{\partial x} + E_1 \frac{\partial z}{\partial t} + F_1 \frac{\partial z}{\partial x} = G_1 \quad (1)$$

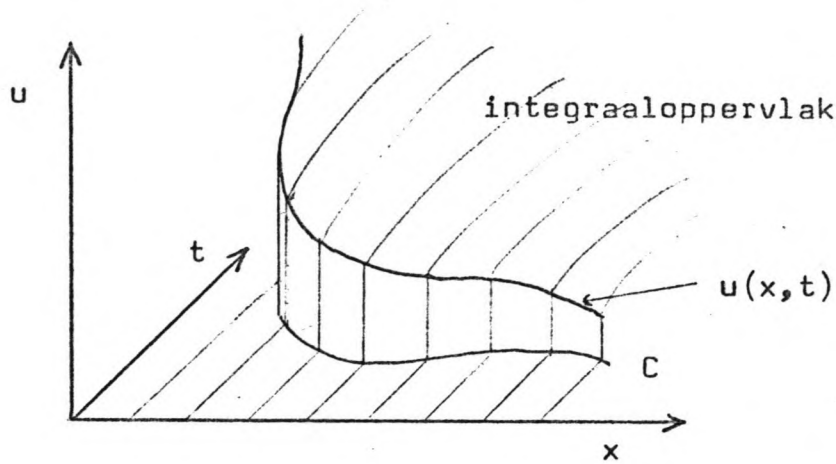
$$A_2 \frac{\partial u}{\partial t} + B_2 \frac{\partial u}{\partial x} + C_2 \frac{\partial a}{\partial t} + D_2 \frac{\partial a}{\partial x} + E_2 \frac{\partial z}{\partial t} + F_2 \frac{\partial z}{\partial x} = G_2 \quad (2)$$

$$A_3 \frac{\partial u}{\partial t} + B_3 \frac{\partial u}{\partial x} + C_3 \frac{\partial a}{\partial t} + D_3 \frac{\partial a}{\partial x} + E_3 \frac{\partial z}{\partial t} + F_3 \frac{\partial z}{\partial x} = G_3 \quad (3)$$

Als de coëfficiënten  $A$  t/m  $F$  en het rechterlid  $G$  wel functies zijn van  $x$  en  $t$  of van  $u, a$  en  $z$  maar niet van de afgeleiden  $u_t, u_x, a_t, a_x, z_t$  of  $z_x$  dan spreken we van een stelsel quasi-lineaire P.D.V.'n. Om een zinvol probleem te kunnen formuleren moeten de functies  $u(x,t), a(x,t)$  en  $z(x,t)$  voorgeschreven worden op een beginkromme  $C$  in het  $x,t$ -vlak.

Oplossen van het stelsel P.D.V.'n wil nu zeggen het bepalen van de integraaloppervlakken die op de kromme  $C$  de voorgeschreven waarden aannemen.

In onderstaand figuur is dit weergegeven voor de snelheid  $u$ .



De afgeleiden van  $u$ ,  $a$  en  $z$  naar  $x$  en  $t$  vormen samen zes onbekenden. Voor het oplossen wordt verder nog gebruik gemaakt van de uitdrukkingen voor de totale differentiaal wat drie vergelijkingen toevoegt aan de drie bovengenoemde vergelijkingen.

$$du = \frac{\partial u}{\partial t} dt + \frac{\partial u}{\partial x} dx \quad (4)$$

$$da = \frac{\partial a}{\partial t} dt + \frac{\partial a}{\partial x} dx \quad (5)$$

$$dz = \frac{\partial z}{\partial t} dt + \frac{\partial z}{\partial x} dx \quad (6)$$

Het stelsel vergelijkingen (1) t/m (6) kan in matrix vorm als volgt geschreven worden:

$$\begin{vmatrix} A_1 & B_1 & C_1 & D_1 & E_1 & F_1 \\ A_2 & B_2 & C_2 & D_2 & E_2 & F_2 \\ A_3 & B_3 & C_3 & D_3 & E_3 & F_3 \\ dt & dx & 0 & 0 & 0 & 0 \\ 0 & 0 & dt & dx & 0 & 0 \\ 0 & 0 & 0 & 0 & dt & dx \end{vmatrix} \cdot \begin{vmatrix} u_t \\ u_x \\ a_t \\ a_x \\ z_t \\ z_x \end{vmatrix} = \begin{vmatrix} G_1 \\ G_2 \\ G_3 \\ 0 \\ 0 \\ 0 \end{vmatrix}$$

$$D \cdot \vec{v} = \vec{w}$$

Als  $D \neq 0$  is het stelsel éénduidig oplosbaar waarbij de partiële afgeleiden van  $u$ ,  $a$  en  $z$  bepaald kunnen worden volgens  $u_t = D_1/D$  enz. (regel van Cramer), waarbij  $D_1$  de determinant voorstelt waarin de eerste kolom van de hoofdde-

terminant  $D$  vervangen is door het rechterlid.

Als  $D = 0$  is er geen oplossing, tenzij ook  $D_I$  (en daarmee ook de overige determinanten  $D_{II}$  t/m  $D_{VI}$ ) gelijk aan nul is. In dat geval zijn er oneindig veel oplossingen voor de afgeleiden.

Het stellen van  $D = 0$  geeft een derde-graadsvergelijking in  $dt$  en  $dx$ , de karakteristieke vergelijking, in de vorm:

$$Kdx^3 + Ldx^2dt + Mdxdt^2 + Ndt^3 = 0 \quad (7)$$

Een kromme die in ieder punt aan deze vergelijking voldoet wordt karakteristiek genoemd en in het bijzondere geval dat de kromme geheel in het  $x,t$ -vlak ligt wordt ze grondkarakteristiek (of ook subkarakteristiek) genoemd.

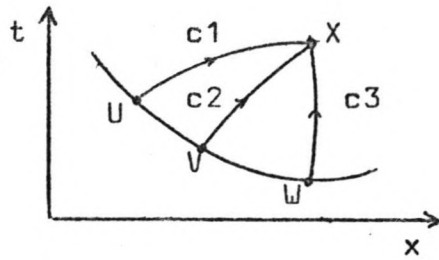
Vergelijking (7) heeft drie oplossingen waardoor er in ieder willekeurig punt in de  $x,t,u,a,z$ -ruimte drie karakteristieken gaan.

Langs elke karakteristiek geldt in het geval van oneindig veel oplossingen dat  $D_I = 0$ , wat in het algemeen een vergelijking geeft van de vorm:

$$Pdu + Qda + Rdz = Sdt \quad (8)$$

Dit is de compatibiliteitsvoorwaarde, waarbij de coëfficiënten  $P, Q, R$  en  $S$  nog een functie kunnen zijn van  $dx$  en  $dt$ . Vergelijking (8) is een gewone differentiaalvergelijking die langs numerieke weg (in combinatie met (7)) opgelost kan worden. Hierdoor kunnen uitgaande van de beginkromme  $C$  de integraaloppervlakken bepaald worden zonder de afgeleiden  $u, a$  en  $z$  naar  $x$  en  $t$  te berekenen. De beginkromme  $C$  wordt in het algemeen gevormd door de beginvoorwaarden d.w.z.  $u, a$  en  $z$  gegeven als functie van plaats op het tijdstip  $t = 0$ , en randvoorwaarden d.w.z.  $u, a$  en  $z$  gegeven als functie van tijd op een zekere plaats.

De partiële afgeleiden kunnen vanwege het onbepaald zijn, in een punt van de karakteristiek verschillende waarden aannemen. Discontinuïteiten in de bodem of waterspiegel planten zich dan ook voort langs een karakteristiek.



In het punt X kunnen  $u$ ,  $a$  en  $z$  nu als volgt bepaald worden: de karakteristieken  $c_1$ ,  $c_2$  en  $c_3$  voldoen aan vergelijking (7) en snijden de beginkromme  $C$  in resp.  $U$ ,  $V$  en  $W$ . Langs alle drie de karakteristieken geldt vergelijking (8) die met eindige differenties geschreven kan worden als:

$$P u + Q a + R z = S t \quad (9)$$

zodat we krijgen langs  $c_1$ :

$$P_1 \cdot (u_X - u_U) + Q_1 \cdot (a_X - a_U) + R_1 \cdot (z_X - z_U) = S_1 \cdot (t_X - t_U) \quad (10)$$

Idem langs  $c_2$  en  $c_3$ , zodat er drie vergelijkingen zijn met als drie onbekenden  $u_X$ ,  $a_X$  en  $z_X$  die daarmee bepaald kunnen worden.



De continuïteitsvergelijking voor het water wordt nu:

$$\frac{\partial u \cdot a \cdot (1-c)}{\partial x} + \frac{\partial a \cdot (1-c)}{\partial t} + (1-p) \cdot \frac{\partial z}{\partial t} = 0$$

en de continuïteitsvergelijking voor het sediment:

$$\frac{\partial u \cdot a \cdot c}{\partial x} + \frac{\partial a \cdot c}{\partial t} + p \cdot \frac{\partial z}{\partial t} = 0$$

Optellen van deze vergelijkingen geeft de continuïteitsvergelijking voor water en sediment tezamen:

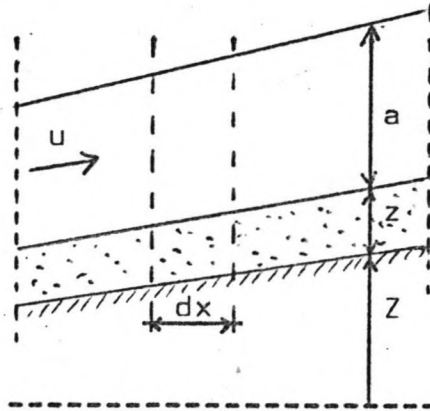
$$\frac{\partial u \cdot a}{\partial x} + \frac{\partial a}{\partial t} + \frac{\partial z}{\partial t} = 0$$

BIJLAGE 2.3

Afleiding van de bewegingsvergelijking.

De afleiding van de bewegingsvergelijking is als volgt:  
voor een gebiedje  $dx$  geldt dat de som van alle krachten gelijk is aan de verandering van hoeveelheid beweging per tijdseenheid,

$$F = \frac{d(m \cdot u)}{dt}$$



De krachten zijn:

t.g.v. drukverschil  $F_1 = -\frac{\partial}{\partial x} \left( \frac{\gamma_m \cdot a^2}{2} \right) \cdot dx$

$$= - \left[ \gamma_m \cdot a \cdot \frac{\partial a}{\partial x} + \frac{a^2}{2} \cdot \frac{\partial \gamma_m}{\partial x} \right] \cdot dx$$

vanwege  $\gamma_m = c \cdot \gamma_s + (1-c) \cdot \gamma_w = c \cdot (\gamma_s - \gamma_w) + \gamma_w$

en  $\frac{\partial \gamma_m}{\partial x} = (\gamma_s - \gamma_w) \cdot \frac{\partial c}{\partial x}$  geldt,

$$F_1 = - \left[ \gamma_m \cdot a \cdot \frac{\partial a}{\partial x} + (\gamma_s - \gamma_w) \cdot a^2 \cdot \frac{\partial c}{\partial x} \right] \cdot dx$$

t.g.v. x-component van de zwaartekracht (hydr. drukverdeling)

$$F_2 = -\gamma_m \cdot a \cdot \frac{\partial (Z+z)}{\partial x} \cdot dx$$

$$= +\gamma_m \cdot a \cdot i_0 \cdot dx - \gamma_m \cdot a \cdot \frac{\partial z}{\partial x} \cdot dx$$

t.g.v. schuifspanning

$$F_3 = -\tau \cdot dx$$

Verandering van hoeveelheid beweging:

$$\frac{dmu}{dt} = \frac{\partial mu}{\partial t} + \frac{\partial mu}{\partial x} \cdot \frac{dx}{dt}$$

$$\frac{dmu}{dt} = \frac{\partial}{\partial t} (\rho_m \cdot u \cdot a \cdot dx) + \frac{\partial}{\partial x} (\rho_m \cdot u^2 \cdot a) \cdot dx$$

$$\begin{aligned} \frac{dmu}{dt} &= (\rho_s - \rho_w) \cdot \frac{\partial (u \cdot a \cdot c)}{\partial t} \cdot dx + \rho_w \cdot \frac{\partial (u \cdot a)}{\partial t} \cdot dx + \\ &2\rho_m \cdot u \cdot a \cdot \frac{\partial u}{\partial x} + u^2 \cdot \frac{\partial (\rho_m \cdot a)}{\partial x} \cdot dx \end{aligned}$$

Uitgewerkt en met gebruikmaking van

$$\frac{\partial uac}{\partial x} = - \frac{\partial ac}{\partial t} - p \frac{\partial z}{\partial t} \quad \text{en} \quad \frac{\partial ua}{\partial x} = - \frac{\partial a}{\partial t} - \frac{\partial z}{\partial t}$$

(zie bijlage 2.2) volgt hieruit dat:

$$\begin{aligned} \frac{dmu}{dt} &= \rho_m \cdot a \cdot \frac{\partial u}{\partial t} \cdot dx + u \cdot [-(\rho_s - \rho_w) \cdot p - \rho_w] \cdot \frac{\partial z}{\partial t} \cdot dx + \\ &\rho_m \cdot u \cdot a \cdot \frac{\partial u}{\partial x} \cdot dx \end{aligned}$$

$$F_1 + F_2 + F_3 = \frac{dmu}{dt} \quad \text{geeft na deling door} \quad \rho_m \cdot a \cdot dx = \frac{\gamma}{g_m} \cdot a \cdot dx :$$

$$-\frac{g \rho a}{\rho x} - \frac{g(\gamma_s - \gamma_w) \cdot a \cdot \frac{\partial c}{\partial x}}{\gamma_m} + g i_o - \frac{g \partial z}{\partial x} - \frac{g \tau}{\gamma_m a} =$$

$$\frac{\partial u}{\partial t} + \frac{u}{a} \left[ \frac{-p\rho_s - (1-p)\rho_w}{\rho_m} \right] \cdot \frac{\partial z}{\partial x} + u \frac{\partial u}{\partial x}$$

of

$$\begin{aligned} \frac{\partial u}{\partial t} + \frac{u \partial u}{\partial x} + \frac{g \partial a}{\partial x} + \frac{g \partial z}{\partial x} + \frac{g(\gamma_s - \gamma_w) \cdot a \cdot \frac{\partial c}{\partial x}}{\gamma_m} - \\ \left[ \frac{p\gamma_s + (1-p)\gamma_w}{\gamma_m} \right] \cdot \frac{u \cdot \partial z}{a \partial x} = g i_o - \frac{g \tau}{\gamma_m a} \end{aligned}$$



BIJLAGE 2.4

Uitwerking van de determinant D=0.

$$\begin{vmatrix} \alpha & \beta u & 0 & g & 0 & g \\ 0 & \gamma a & \delta & \gamma u & \epsilon & 0 \\ 0 & A & 0 & B & 1 & 0 \\ dt & dx & 0 & 0 & 0 & 0 \\ 0 & 0 & dx & dt & 0 & 0 \\ 0 & 0 & 0 & 0 & dx & dt \end{vmatrix} =$$

$$+\alpha \begin{vmatrix} \gamma a & \delta & \gamma u & \epsilon & 0 \\ A & 0 & B & 1 & 0 \\ dx & 0 & 0 & 0 & 0 \\ 0 & dt & dx & 0 & 0 \\ 0 & 0 & 0 & dx & dt \end{vmatrix} - dt \begin{vmatrix} \beta u & 0 & g & 0 & g \\ \gamma a & \delta & \gamma u & \epsilon & 0 \\ A & 0 & B & 1 & 0 \\ 0 & dt & dx & 0 & 0 \\ 0 & 0 & 0 & dt & dx \end{vmatrix} =$$

$$+\alpha dx \begin{vmatrix} \gamma a & \delta & \gamma u & \epsilon \\ A & 0 & B & 1 \\ dx & 0 & 0 & 0 \\ 0 & dt & dx & 0 \end{vmatrix} - \delta dt \begin{vmatrix} \beta u & g & 0 & g \\ A & B & 1 & 0 \\ 0 & dx & 0 & 0 \\ 0 & 0 & dt & dx \end{vmatrix} - dt^2 \begin{vmatrix} \beta u & g & 0 & g \\ \gamma a & \gamma u & \epsilon & 0 \\ A & B & 1 & 0 \\ 0 & 0 & dt & dx \end{vmatrix} =$$

$$-\alpha \delta dx \begin{vmatrix} A & B & 1 \\ dx & 0 & 0 \\ 0 & dx & 0 \end{vmatrix} + \alpha dx dt \begin{vmatrix} \gamma a & \gamma u & \epsilon \\ A & B & 1 \\ dx & 0 & 0 \end{vmatrix} + \delta dt \begin{vmatrix} \beta u & g & g \\ 0 & dx & 0 \\ 0 & 0 & dx \end{vmatrix}$$

$$+ dt^2 \begin{vmatrix} \beta u & g & g \\ A & B & 0 \\ 0 & dx & 0 \end{vmatrix} + g dt^2 \begin{vmatrix} \gamma a & \gamma u & \epsilon \\ A & B & 1 \\ 0 & 0 & dt \end{vmatrix} - dx dt^2 \begin{vmatrix} \beta u & g & 0 \\ \gamma a & \gamma u & \epsilon \\ A & B & 1 \end{vmatrix} = 0$$

$$-\alpha \cdot \delta \cdot dx \cdot dx^2$$

$$+\alpha \cdot dx \cdot dt (+\epsilon \cdot -B \cdot dx - 1 \cdot -\gamma \cdot u \cdot dx)$$

$$+\delta \cdot dt \cdot \beta u \cdot dx^2$$

$$+\delta \cdot dt^2 \cdot g \cdot A \cdot dx$$

$$+g \cdot dt^2 (\gamma a \cdot B \cdot dt - A \cdot \gamma u \cdot dt)$$

$$-dx \cdot dt^2 \{-\epsilon (\beta u \cdot B - A \cdot g) + (\beta u \cdot \gamma u - \gamma a \cdot g)\} = 0$$

$$\Rightarrow -\alpha \cdot \delta \cdot c^3 + (-\alpha \cdot \varepsilon \cdot B + \alpha \cdot \gamma \cdot u + \beta \cdot \delta \cdot u) \cdot c^2 \\ + (\delta \cdot A \cdot g + \beta \cdot \varepsilon \cdot B \cdot u - \varepsilon \cdot A \cdot g - \beta \cdot \gamma \cdot u^2 + \gamma \cdot a \cdot g) \cdot c \\ + (\gamma \cdot B \cdot a \cdot g - \gamma \cdot A \cdot g \cdot u) = 0$$

$$-\alpha \cdot \delta \cdot c^3 + \{-\alpha \cdot \varepsilon \cdot B + (\alpha \cdot \gamma + \beta \cdot \delta) \cdot u\} c^2 \\ \{(\delta - \varepsilon) \cdot A \cdot g + \beta \cdot \varepsilon \cdot B \cdot u - \beta \cdot \gamma \cdot u^2 + \gamma \cdot a \cdot g\} \cdot c \\ + (-\gamma \cdot A \cdot g \cdot u + \gamma \cdot B \cdot a \cdot g) = 0$$

$$+\alpha \cdot \delta \cdot c^3 + \{\alpha \cdot \varepsilon \cdot B - (\alpha \cdot \gamma + \beta \cdot \delta) u\} \cdot c^2 \\ \{\beta \cdot \gamma \cdot u^2 - \gamma \cdot g \cdot a + (\varepsilon - \delta) \cdot A \cdot g - \beta \cdot \varepsilon \cdot B \cdot u\} \cdot c \\ + (\gamma \cdot g \cdot A \cdot u - \gamma \cdot g \cdot B \cdot a) = 0$$

delen door  $u^3$  geeft:

$$\alpha \cdot \delta \cdot \frac{c^3}{u^3} + \left\{ \alpha \cdot \varepsilon \cdot \frac{B}{u} - (\alpha \cdot \gamma + \beta \cdot \delta) \right\} \cdot \frac{c^2}{u^2} + \\ \left\{ \beta \cdot \gamma - \gamma \cdot \frac{g \cdot a}{u^2} + (\varepsilon - \delta) \cdot \frac{g \cdot a \cdot A}{u^2 a} - \beta \cdot \varepsilon \cdot \frac{B}{u} \right\} \cdot c + \left\{ \gamma \cdot \frac{g \cdot a \cdot A}{u^2 a} - \gamma \cdot \frac{g \cdot a \cdot B}{u^2 u} \right\} = 0$$

waardoor de karakteristieke vergelijking in de volgende dimensieloze vorm geschreven kan worden:

$$\alpha \cdot \delta \cdot \vartheta^3 + \{\alpha \cdot \varepsilon \cdot \theta - (\alpha \cdot \gamma + \beta \cdot \delta)\} \cdot \vartheta^2 + \\ \{(\varepsilon - \delta) \cdot \psi \cdot F^{-2} - \beta \cdot \varepsilon \cdot \theta + \beta \cdot \gamma - \gamma \cdot F^{-2}\} \cdot \vartheta + \{\gamma \cdot \psi \cdot F^{-2} - \gamma \cdot \theta \cdot F^{-2}\} = 0$$

met  $\vartheta = \frac{c}{u}$ ,  $\theta = \frac{B}{u}$ ,  $\psi = \frac{A}{a}$ ,  $F^2 = \frac{u^2}{g \cdot a}$ .

BIJLAGE 2.5

Uitwerking van de determinant  $D_{II} = 0$ .

$$\begin{vmatrix} \alpha & W & 0 & g & 0 & g \\ 0 & 0 & \delta & \gamma_u & \varepsilon & 0 \\ 0 & 0 & 0 & B & 1 & 0 \\ dt & du & 0 & 0 & 0 & 0 \\ 0 & da & dt & dx & 0 & 0 \\ 0 & dz & 0 & 0 & dt & dx \end{vmatrix} =$$

$$+ \begin{vmatrix} 0 & \delta & \gamma_u & \varepsilon & 0 \\ 0 & 0 & B & 1 & 0 \\ du & 0 & 0 & 0 & 0 \\ da & dt & dx & 0 & 0 \\ dz & 0 & 0 & dt & dx \end{vmatrix} - dt \begin{vmatrix} W & 0 & g & 0 & g \\ 0 & \delta & \gamma_u & \varepsilon & 0 \\ 0 & 0 & B & 1 & 0 \\ da & dt & dx & 0 & 0 \\ dz & 0 & 0 & dt & dx \end{vmatrix} =$$

$$+ dx \begin{vmatrix} 0 & \delta & \gamma_u & \varepsilon \\ 0 & 0 & B & 1 \\ du & 0 & 0 & 0 \\ da & dt & dx & 0 \end{vmatrix} - gdt \begin{vmatrix} 0 & \delta & \gamma_u & \varepsilon \\ 0 & 0 & B & 1 \\ da & dt & dx & 0 \\ dz & 0 & 0 & dt \end{vmatrix} - dxdt \begin{vmatrix} W & 0 & g & 0 \\ 0 & \delta & \gamma_u & \varepsilon \\ 0 & 0 & B & 1 \\ da & dt & dx & 0 \end{vmatrix} =$$

$$+ dxdx \begin{vmatrix} \delta & \gamma_u & \varepsilon \\ 0 & B & 1 \\ dt & dx & 0 \end{vmatrix} - dadx \begin{vmatrix} \delta & \gamma_u & \varepsilon \\ 0 & B & 1 \\ 0 & 0 & 0 \end{vmatrix} - gdadt \begin{vmatrix} \delta & \gamma_u & \varepsilon \\ 0 & B & 1 \\ 0 & 0 & dt \end{vmatrix}$$

$$+ gdzdt \begin{vmatrix} \delta & \gamma_u & \varepsilon \\ 0 & B & 1 \\ dt & dx & 0 \end{vmatrix} - dxdt \begin{vmatrix} W & g & 0 \\ 0 & B & 1 \\ da & dx & 0 \end{vmatrix} - dxdt^2 \begin{vmatrix} W & g & 0 \\ 0 & \gamma_u & \varepsilon \\ 0 & B & 1 \end{vmatrix} = 0$$

$$\begin{aligned} & + \alpha \cdot dxdx [-\delta \cdot dx + dt(\gamma_u - B\varepsilon)] \\ & - gdadt \cdot \delta \cdot Bdt \\ & + gdzdt [-\delta \cdot dx + dt(\gamma_u - B\varepsilon)] \\ & - \delta \cdot dxdt \cdot -1 \cdot (Wdx - gda) \\ & - dxdt^2 \cdot W(\gamma_u - B\varepsilon) = 0 \end{aligned}$$

na deling door  $dt^3$  wordt het volgende resultaat gevonden:

$$\begin{aligned} & + \alpha c(\delta c - \gamma_u + \varepsilon B)du + \delta g(c + B)da + g(\delta c - \gamma_u + \varepsilon B)dz = \\ & c(\delta c - \gamma_u + \varepsilon B)Wdt \end{aligned}$$

na delen door  $a \cdot u^3$  is de dimensieloze vorm:

$$+ \delta(\delta\phi - \gamma + \varepsilon\theta) \frac{du}{u} + \delta F^{-2}(\phi + \theta) \frac{da}{a} + F^{-2}(\delta\phi - \gamma + \varepsilon\theta) \frac{dz}{a} =$$

$$\delta(\delta\phi - \gamma + \varepsilon\theta) \frac{f}{8} \frac{u dt}{a}$$

met  $f = \frac{8g}{c^2}$

BIJLAGE 2.6

Compatibiliteitsvoorwaarde langs  $dt = 0$

$$\left. \begin{array}{l} dt = 0 \\ du = \frac{\partial u}{\partial t} \cdot dt + \frac{\partial u}{\partial x} \cdot dx \end{array} \right\} \rightarrow \frac{du}{dx} = \frac{\partial u}{\partial x}$$

zo ook  $\frac{da}{dx} = \frac{\partial a}{\partial x}$  en  $\frac{dz}{dx} = \frac{\partial z}{\partial x}$ .

Er geldt:  $\alpha \frac{\partial u}{\partial t} + \beta u \frac{\partial u}{\partial x} + g \frac{\partial a}{\partial x} + g \frac{\partial z}{\partial x} = W$

en  $\gamma u \frac{\partial a}{\partial x} + \gamma a \frac{\partial u}{\partial x} + \varepsilon \frac{\partial a}{\partial t} + \delta \frac{\partial z}{\partial t} = 0$

zodat we krijgen voor de gevallen VI t/m IX:

VI  $\alpha, \varepsilon = 0$   $\frac{u du}{dx} + g \frac{da}{dx} + g \frac{dz}{dx} = W$

VII  $\delta, \varepsilon = 0$   $\frac{u da}{dx} + a \frac{du}{dx} = 0$

VIII  $\alpha, \delta, \varepsilon = 0$   $\left. \begin{array}{l} \frac{u du}{dx} + g \frac{da}{dx} + g \frac{dz}{dx} = W \\ a \frac{du}{dx} + u \frac{da}{dx} = 0 \end{array} \right\} \rightarrow \left( \frac{u - ga}{u} \right) \frac{du}{dx} + g \frac{dz}{dx} = W$

IX  $\alpha, \beta, \delta, \varepsilon = 0$   $\left. \begin{array}{l} g \frac{da}{dx} + g \frac{dz}{dx} = W \\ u \frac{da}{dx} = 0 \end{array} \right\} \rightarrow g dz = W dx$

BIJLAGE 2.7

Omwerking van de basisvergelijkingen tot een stelsel P.D.V.'n met dimensieloze grootheden.

Het fysisch verschijnsel (leggen van een zandvang) wordt beschreven door de volgende P.D.V.'n:

$$\frac{\partial u}{\partial t} + u \frac{\partial u}{\partial x} + g \frac{\partial a}{\partial x} + g \frac{\partial z}{\partial x} = -g \frac{u^2}{c^2 a} \quad (u \geq 0) \quad (1)$$

$$a \frac{\partial u}{\partial x} + u \frac{\partial a}{\partial x} + \frac{\partial a}{\partial t} + \frac{\partial z}{\partial t} = 0 \quad (2)$$

$$\frac{\partial s}{\partial u} \cdot \frac{\partial u}{\partial x} + \frac{\partial s}{\partial a} \cdot \frac{\partial a}{\partial x} + \frac{\partial z}{\partial t} = 0 \quad (3)$$

Kiezen we als karakteristieke parameters,

$$u, \frac{\partial u}{\partial x}, g, \frac{\partial a}{\partial x}, \frac{\partial z}{\partial x}, c, a, \frac{\partial s}{\partial u}, \frac{\partial s}{\partial a}$$

dan kunnen we de overige parameters  $\frac{\partial u}{\partial t}$ ,  $\frac{\partial a}{\partial t}$  en  $\frac{\partial z}{\partial t}$  hierin uitgedrukt worden.

In de vergelijkingen 1, 2 en 3 hebben we alleen te maken met de dimensies van lengte en tijd, waardoor twee grootheden voldoende zijn om de overige grootheden dimensieloos te maken. Gekozen is voor  $u$  en  $g$ , deze voldoen aan de voorwaarde dat er geen  $p, q$  is zodanig dat  $[u]^p [g]^q = 1$ .

De dimensieloze grootheden worden nu als volgt bepaald:

$$X_1 = u^0 \cdot g^1 \cdot \frac{\partial u}{\partial x} = \frac{u \cdot \partial u}{g \partial x}$$

$$X_2 = u^0 \cdot g^{-1} \cdot c^2 = \frac{c^2}{g} = \frac{\theta}{f}$$

$$X_3 = u^{-2} \cdot g^1 \cdot a = \frac{g \cdot a}{u^2} = F^{-2}$$

$$X_4 = u^{-2} \cdot g^1 \cdot \frac{\partial s}{\partial u} = \frac{g \cdot \partial s}{u^2 \partial u} = \psi \cdot F^{-2} \quad \text{met} \quad \psi = \frac{1}{a} \cdot \frac{\partial s}{\partial u}$$

$$X_5 = u^{-1} \cdot g^0 \cdot \frac{\partial s}{\partial a} = \frac{1}{u} \cdot \frac{\partial s}{\partial a}$$

De partiële differentiaalvergelijkingen worden nu:

$$\frac{1}{g} \frac{\partial u}{\partial t} + \frac{u}{g} \frac{\partial u}{\partial x} + \frac{\partial a}{\partial x} + \frac{\partial z}{\partial x} = -\frac{\theta}{f} \cdot F^2$$

$$u \frac{\partial u}{\partial x} + F^2 \frac{\partial a}{\partial x} + F^2 \cdot \frac{1}{u} \frac{\partial a}{\partial t} + F^2 \frac{\partial z}{\partial t} = 0$$

$$\psi F^{-2} \cdot \frac{u}{g} \frac{\partial u}{\partial x} + \theta \frac{\partial a}{\partial x} + \frac{1}{u} \frac{\partial z}{\partial t} = 0$$

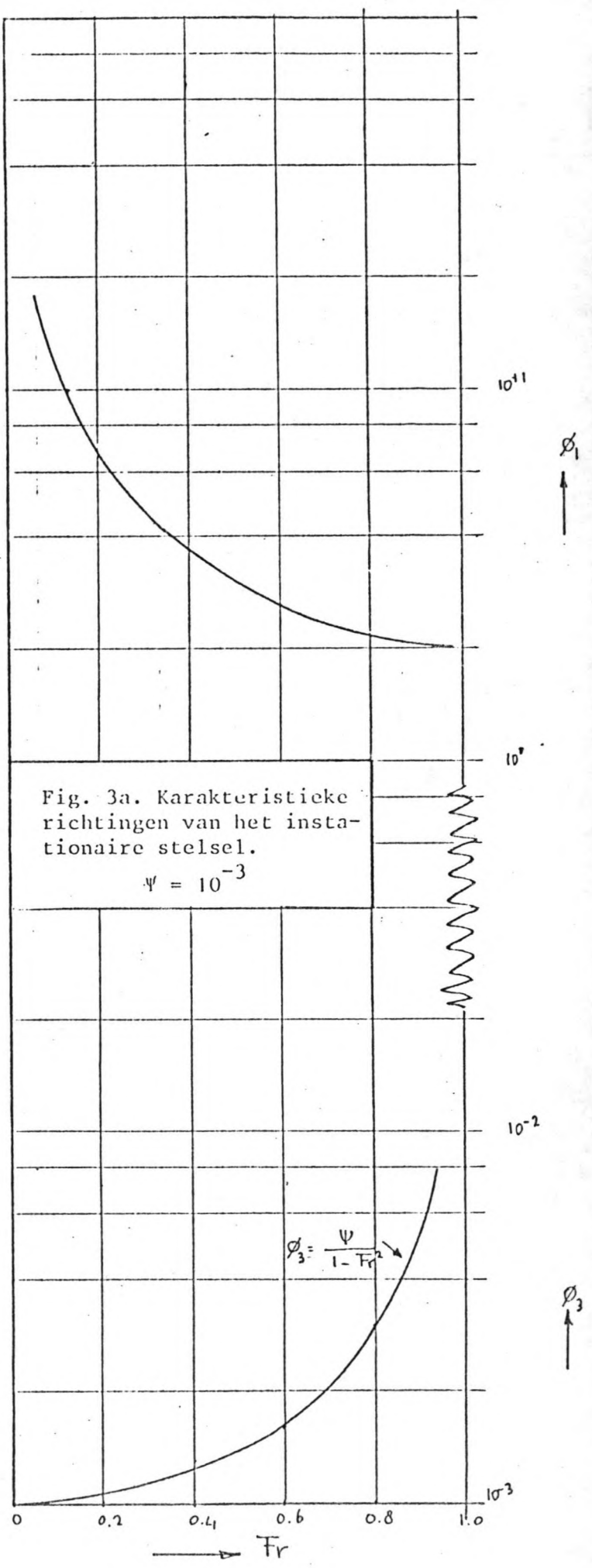
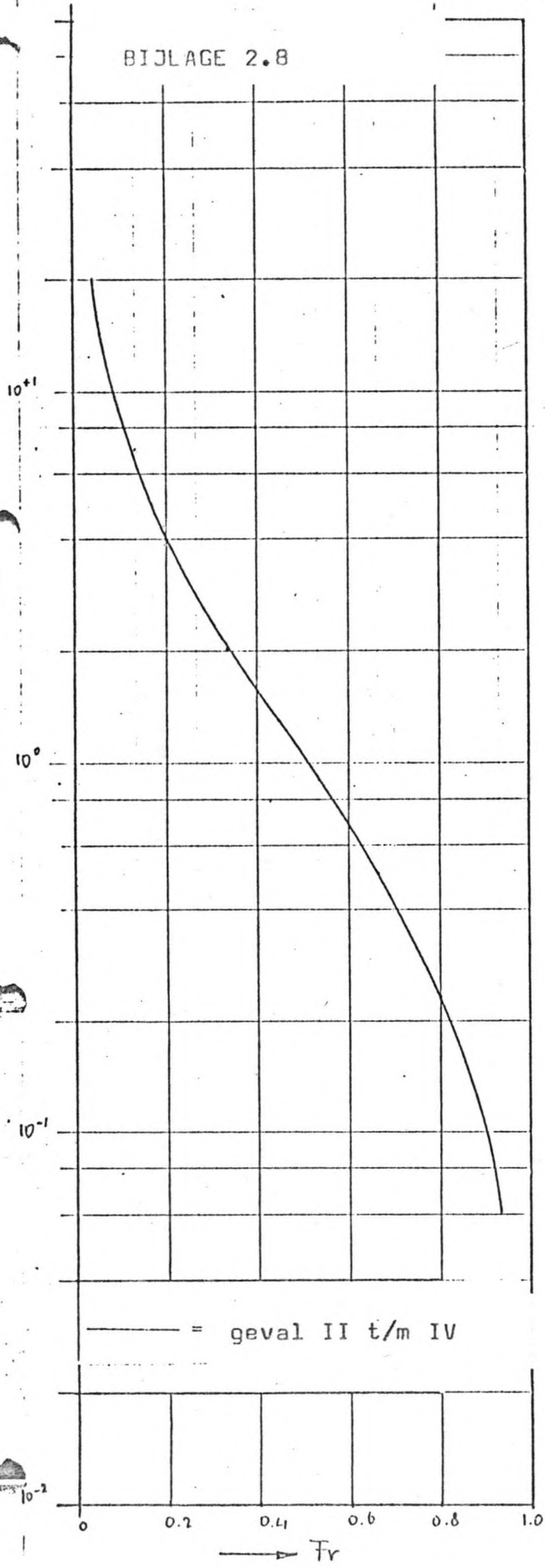
De uitdrukkingen voor de totale differentiaal kunnen nu geschreven worden als:

$$\frac{1}{g} \frac{du}{dt} = \frac{1}{g} \frac{\partial u}{\partial t} + \frac{u}{g} \frac{\partial u}{\partial x} \times \frac{1}{u} \frac{dx}{dt}$$

$$\frac{1}{u} \frac{da}{dt} = \frac{1}{u} \frac{\partial a}{\partial t} + \frac{\partial a}{\partial x} \times \frac{1}{u} \frac{dx}{dt}$$

$$\frac{1}{u} \frac{dz}{dt} = \frac{1}{u} \frac{\partial z}{\partial t} + \frac{\partial z}{\partial x} \times \frac{1}{u} \frac{dx}{dt}$$

BIJLAGE 2.8





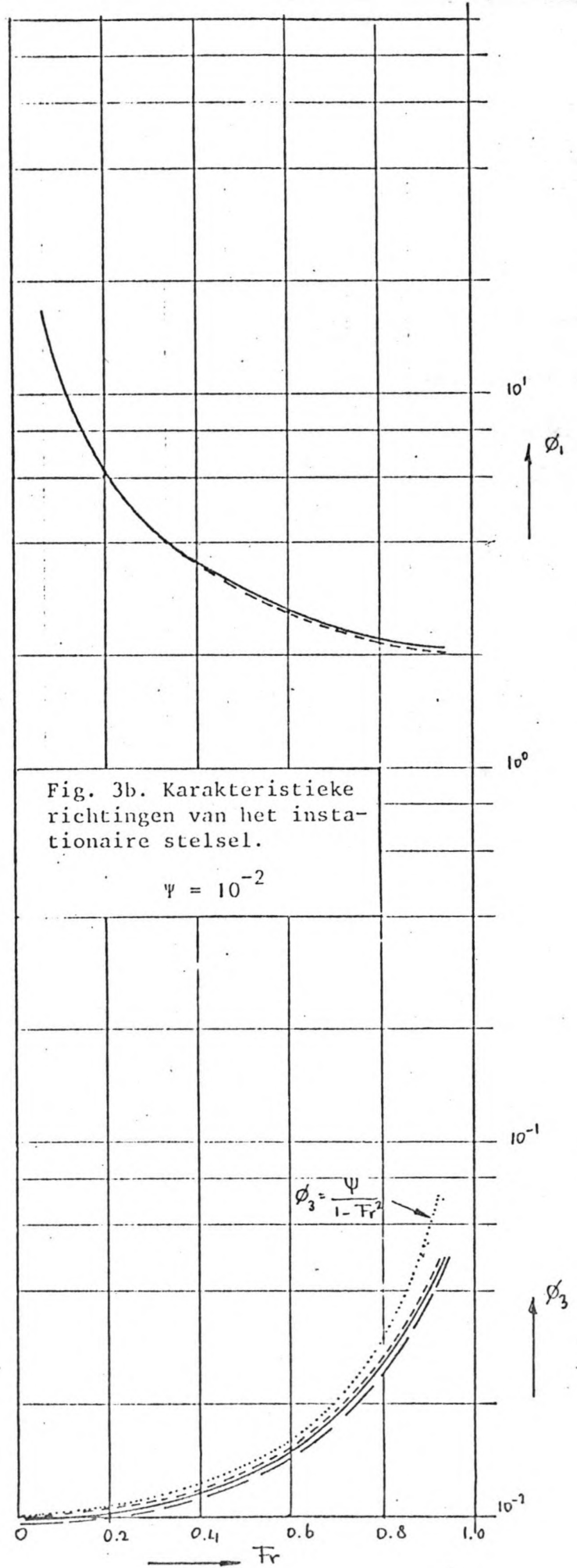
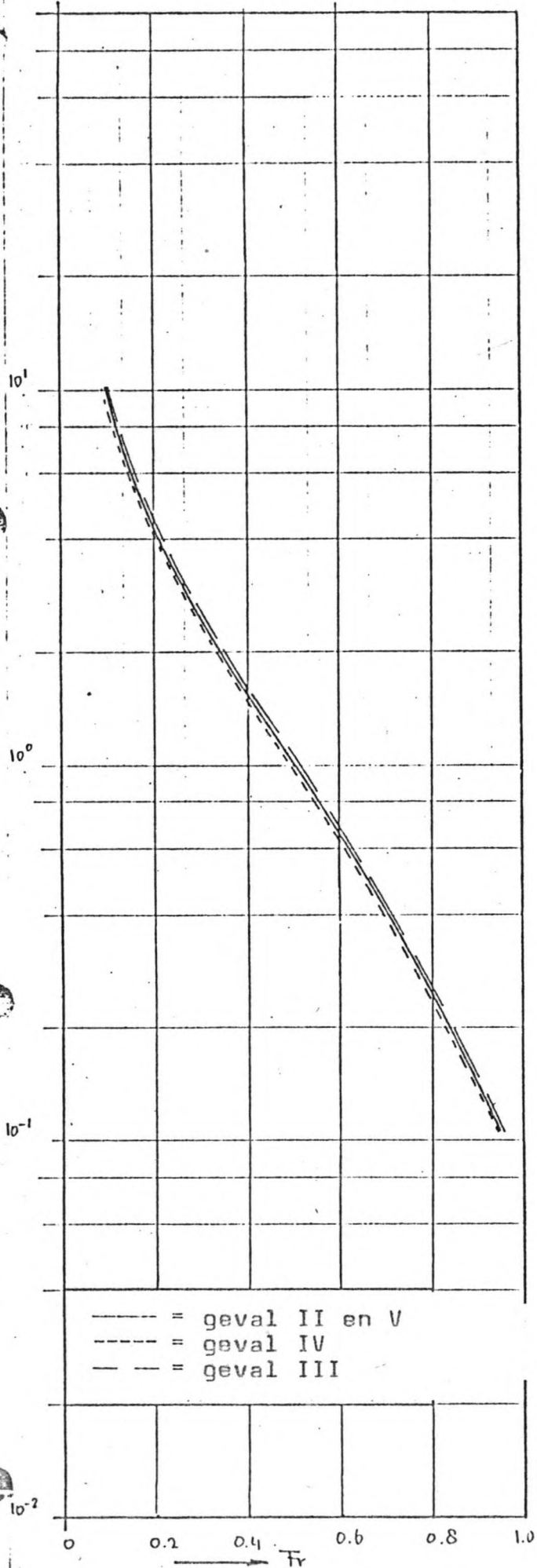
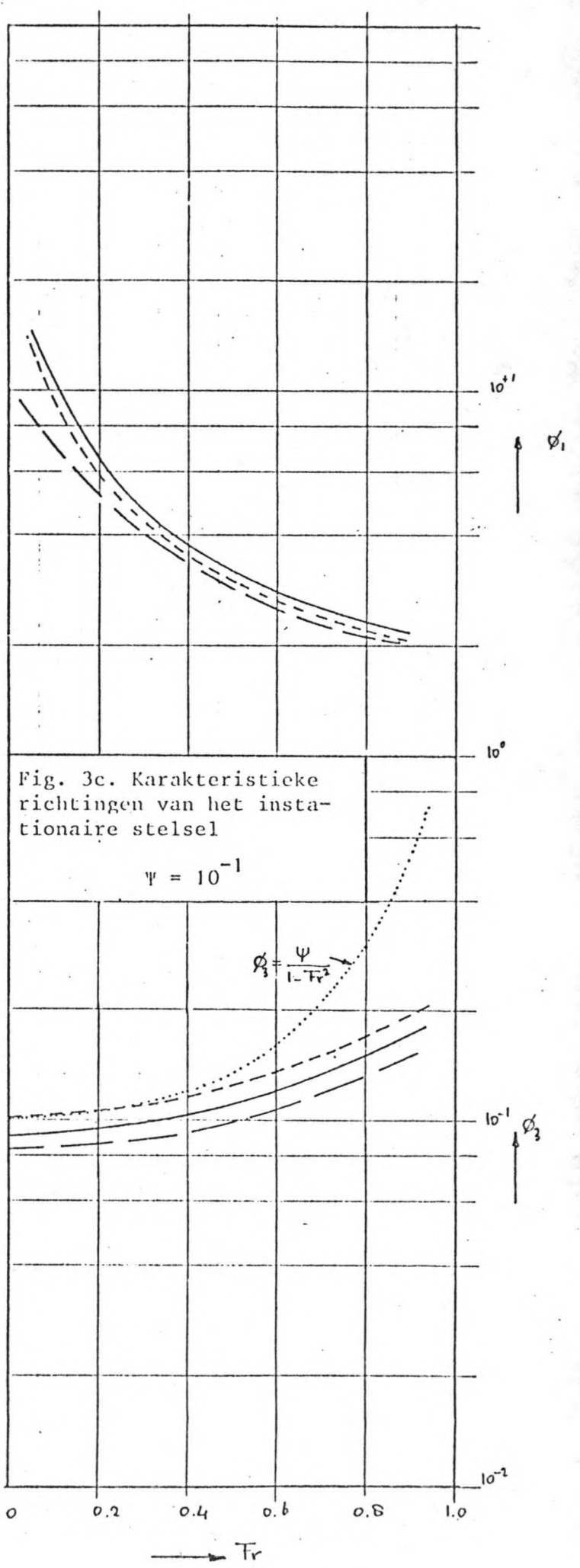
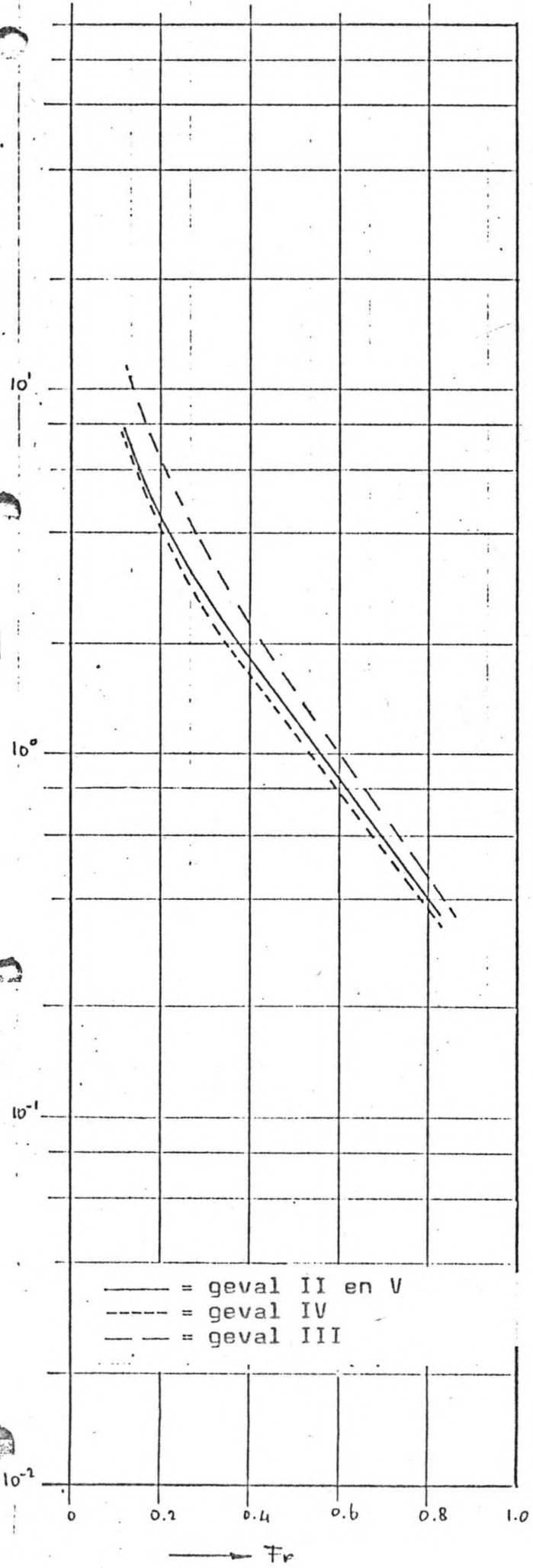


Fig. 3b. Karakteristieke richtingen van het instationaire stelsel.

$\psi = 10^{-2}$



BIJLAGE 3.1

Onderzoek naar het gedrag van de functie

$$g(\phi) = \phi^3 - 2\phi^2 + (1-F^{-2})\phi + \psi F^{-2}$$

Het is belangrijk om te weten of de vergelijking  $g(\phi) = 0$  voor verschillende waarden van het Froude-getal steeds drie reële oplossingen heeft, immers alleen dan is de karakteristieke methode te gebruiken. We hebben dan wat de oorspronkelijke basisvergelijkingen betreft te maken met een hyperbolisch stelsel. Verder kan ook nagegaan worden hoe de karakteristieke richtingen veranderen als het Froude-getal verandert.

Om het verloop van  $g(\phi)$  te kunnen schetsen moeten de extremen en de buigpunten bepaald worden.

$$g(\phi) = \phi^3 - 2\phi^2 + (1-F^{-2})\phi + \psi F^{-2}$$

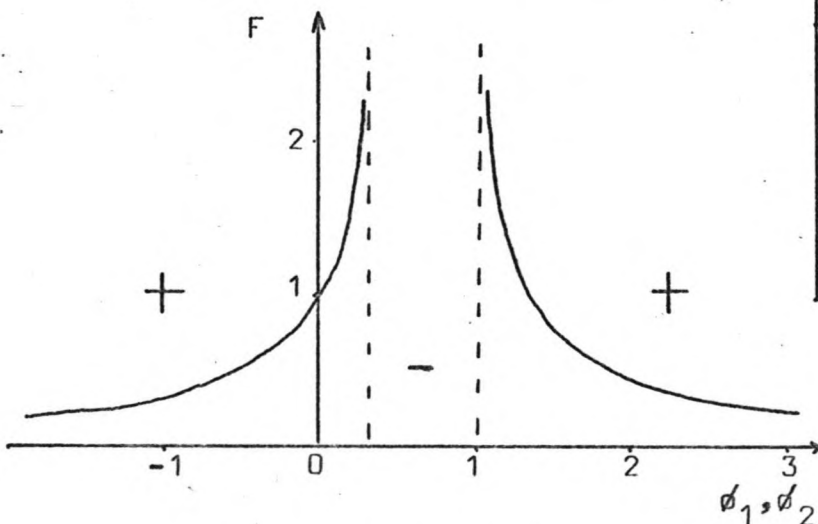
$$g'(\phi) = 3\phi^2 - 4\phi + (1-F^{-2})$$

$$g''(\phi) = 6\phi - 4$$

$g''(\phi) = 0$  geeft als buigpunt onafhankelijk van het Froude-getal  $\phi = 2/3$ .

$g'(\phi) = 0$  geeft de extremen aan afhankelijk van het Froude-getal:  $\phi_{1,2} = \frac{2}{3} \pm \frac{1}{3} (1+3F^{-2})^{1/2}$

De volgende grafiek kan nu getekend worden om de extremen van deze functies  $\phi_1$  resp.  $\phi_2$  te bepalen.



F	$\phi_1$	$\phi_2$
0.00	$+\infty$	$-\infty$
0.25	+2.927	-1.594
0.50	+1.869	-0.535
0.75	+1.506	-0.172
1.00	+1.333	0.000
2.00	+1.108	+0.226
$\infty$	+1.000	+0.333

Hieruit kan afgelezen worden dat voor bijv.  $F=0.5$  er een maximum is voor  $\phi_2 = -0.535$  (links een positieve en rechts een negatieve

eerste afgeleide) en voor  $\phi_1 = +1.869$  een minimum. Omdat  $g'' < 0$  voor  $\phi < 2/3$  en  $g'' > 0$  voor  $\phi > 2/3$  zijn er ook altijd drie nulpunten.

Achtereenvolgens worden nu bekeken de oplossing van  $g(\phi) = 0$  voor  $F \rightarrow 0$ , kleine Froude getallen en  $F = 1$ .

a)  $F \rightarrow 0$  houdt in dat we te maken hebben met stilstaand water  $u \rightarrow 0$  of zeer diep water  $a \rightarrow \infty$ . In het eerste geval is er geen sedimenttransport ( $s=f(u)=0$  en ook  $\psi=0$ ) waardoor een storing in de bodem zich niet voortplant. De relatieve voortplantingssnelheid voor storingen in de waterspiegel wordt oneindig. Bij zeer diep water eveneens, maar de voortplantingssnelheid van de bodemstoring blijft hier gelijk aan  $\psi$  (zie par. 2.4)

b) Kleine Froude-getallen. De storing in de waterspiegel wordt niet beïnvloed door het sedimenttransport zodat  $\phi_{1,3} = 1 \pm F^{-1}$  en  $\phi_2 = \psi/(1-F^2)$ . (lit. 2.6)

c)  $F = 1$  dan  $g(\phi) = \phi^3 - 2\phi^2 + \psi = 0$   
 Als  $F \rightarrow 1$  geldt dat  $\phi_1 = 1+F^{-1} \rightarrow 2$  en  $\phi_3 = 1-F^{-1} \rightarrow 0$

$$\begin{aligned} \phi_1 + \phi_2 + \phi_3 &= 2 \quad \rightarrow \quad \phi_2 = -\phi_3 \\ -\phi_1 \cdot \phi_2 \cdot \phi_3 &= \psi \quad \rightarrow \quad \phi_{2,3} = \pm \sqrt{\psi/2} \end{aligned}$$

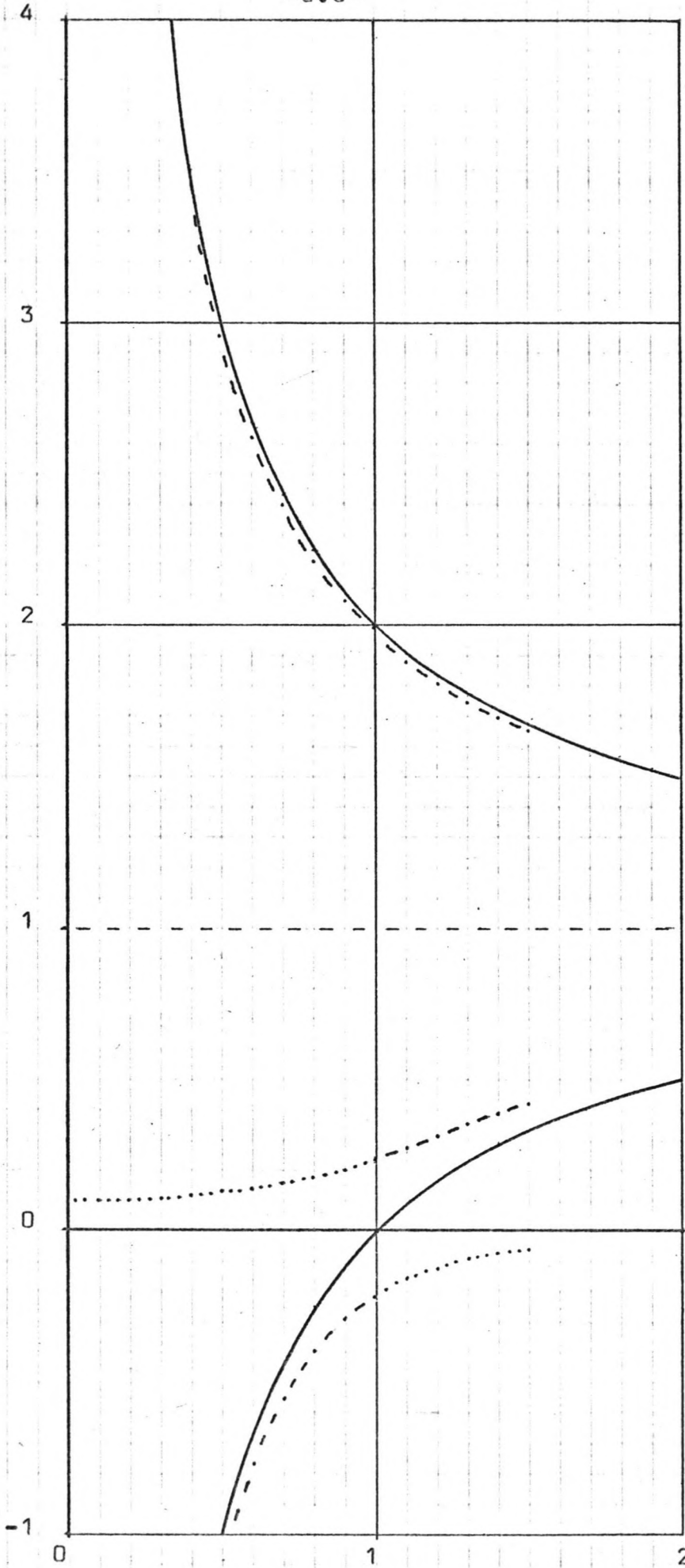
In de buurt van  $F=1$  vindt een rolwisseling plaats tussen de karakteristieke richting van het sedimenttransport  $\phi_2$  en die van het water  $\phi_3$ :

De karakteristieke richting die voor  $F < 1$  betrekking heeft op het sedimenttransport en die in het  $F, \phi$ -diagram theoretisch een continu verloop kent, heeft voor  $F > 1$  betrekking op een verstoring van de waterspiegel.

Zo ook, de (negatieve) karakteristieke richting die voor  $F < 1$  betrekking heeft op een verstoring van de waterspiegel eveneens met een continu verloop in het  $F, \phi$ -diagram heeft voor  $F > 1$  betrekking op een verstoring in de zandbodem.

Dit betekent dat een bodemstoring zich voor  $F > 1$  stroomopwaarts voortplant. In onderstaand figuur is dit aangegeven door uit te zetten de karakteristieke voortplantingssnelheden  $\phi_1$  en  $\phi_3$  zonder bodemtransport (getrokken lijn), en  $\phi_1$  en  $\phi_3$  met bodemtransport  $\psi=0.1$  (streep stippellijn) en  $\phi_2$  (stippellijn), als functie van het Froude-getal.

$\psi$  ↑



—  $\phi 1$   $\psi = 0$   
- - -  $\phi 1$   $\psi = 0.1$

—  $\phi 2$   $\psi = 0$   
- - -  $\phi 2$   $\psi = 0.1$   
.....  $\phi 3$   $\psi = 0.1$

F →

Toelichting: de karakteristieke vergelijking geeft zonder bodemtransport de oplossingen  $\phi_1 = 1 + F^{-1}$ ,  $\phi_2 = 0$  en  $\phi_3 = 1 - F^{-1}$ . Voor grote Froude-getallen naderen  $\phi_1$  en  $\phi_3$  tot één. Dit is ook het geval indien er wel bodemtransport is omdat dan  $\psi F^{-2} \rightarrow 0$  en dus  $\phi_2 \rightarrow 0$ .

BIJLAGE 4.1

Compatibiliteitsvoorwaarden geschreven als combinatie van de basisvergelijkingen.

In het onderstaande wordt aangetoond dat de compatibiliteitsvoorwaarde 3.8 geschreven kan worden als een combinatie van de basisvergelijkingen 3.1, 3.2 en 3.3.

Vermenigvuldiging van 3.8 met  $c(c-u)$  en uitschrijven van de totale differentialen (3.4, 3.5 en 3.6) geeft:

$$c(c-u) \left( \frac{\partial u}{\partial x} + \frac{\partial u}{\partial t} \right) + gc \left( \frac{\partial a}{\partial x} + \frac{\partial a}{\partial t} \right) + g(c-u) \left( \frac{\partial z}{\partial x} + \frac{\partial z}{\partial t} \right) = c(c-u)W \quad (1)$$

hetgeen na uitwerking wordt:

$$\begin{aligned} & (c^2 \frac{\partial u}{\partial t} - uc \frac{\partial u}{\partial t} + c^3 \frac{\partial u}{\partial x} - uc^2 \frac{\partial u}{\partial x}) + (gc^2 \frac{\partial a}{\partial x} + gc \frac{\partial a}{\partial t}) + \\ & (gc^2 \frac{\partial z}{\partial x} - guc \frac{\partial z}{\partial x} + gc \frac{\partial z}{\partial t} - gu \frac{\partial z}{\partial t}) = c^2 W - ucW \end{aligned} \quad (2)$$

aftrekken van  $(c^2 - uc)$  x bewegingsvergelijking 3.1 geeft:

$$c^3 \frac{\partial u}{\partial x} - 2uc^2 \frac{\partial u}{\partial x} + u^2 c \frac{\partial u}{\partial x} + guc \frac{\partial a}{\partial x} + gc \frac{\partial a}{\partial t} + gc \frac{\partial z}{\partial t} - gu \frac{\partial z}{\partial x} = 0 \quad (3)$$

$$\text{of } (c^3 - 2uc^2 + u^2 c) \frac{\partial u}{\partial x} + guc \frac{\partial a}{\partial x} + gc \frac{\partial a}{\partial t} + gc \frac{\partial z}{\partial t} - gu \frac{\partial z}{\partial t} = 0 \quad (4)$$

met gebruikmaking van de karakteristieke vergelijking 3.7 wordt dit:

$$(gac - gf_u) \frac{\partial u}{\partial x} + guc \frac{\partial a}{\partial x} + gc \frac{\partial u}{\partial t} + gc \frac{\partial z}{\partial t} - gu \frac{\partial z}{\partial t} = 0 \quad (5)$$

$$\Rightarrow gc \left( a \frac{\partial u}{\partial x} + u \frac{\partial a}{\partial x} + \frac{\partial a}{\partial t} + \frac{\partial z}{\partial t} \right) - gu \left( f_u \frac{\partial u}{\partial x} + \frac{\partial z}{\partial t} \right) = 0 \quad (6)$$

$$gc(\text{cont. vgl. water \& sed.}) - gu(\text{cont. vgl. sed.}) = 0$$

BIJLAGE 4.2

Karakteristieke berekening met rechthoekig rooster.

4.2.1 Berekening van de karakteristieke richtingen.

De vergelijking waaruit de drie karakteristieke richtingen bepaald moeten worden, luidt:

$$g(\phi) = \phi^3 - 2\phi^2 + (1-F^{-2})\phi + \psi F^{-2} = 0 \quad (1)$$

Voor de bepaling van de wortels wordt gebruik gemaakt van het Newton-Raphson proces, waarbij met behulp van een eerste schatting van het nulpunt  $\phi = \xi$ , een nieuwe benadering gevonden wordt door het trekken van een raaklijn aan de kromme en deze te snijden met de lijn  $g(\phi)=0$ , zie fig. 1.

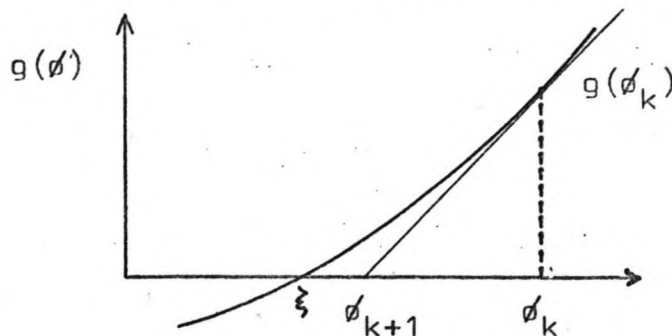


fig. 1 het Newton-Raphson proces

Door dit proces te herhalen kan het nulpunt  $\xi$  met de gewenste nauwkeurigheid benaderd worden.

Er geldt:  $g'(\phi_k) = \frac{g(\phi_k)}{\phi_k - \phi_{k+1}}$  zodat  $\phi_{k+1} = \phi_k - \frac{g(\phi_k)}{g'(\phi_k)}$  (2)

Als aangenomen wordt dat de invloed van de bodembeweging op de karakteristieke voortplantingssnelheid dezelfde richting heeft als de stroomsnelheid, klein is, dan kan als eerste schatting worden gebruikt:  $\phi_1 = 1 + F^{-1}$  (3)

Dit is een oplossing van de vergelijking:

$$\phi^3 - 2\phi^2 + (1-F^{-2})\phi = 0 \quad (4)$$

welke van toepassing is op waterbeweging zonder bodemtransport. In het geval dat er geen bodemtransport is, is namelijk  $s$  gelijk aan nul dus ook  $\partial s / \partial u = f_u$  en  $\psi = f_u / a$ . Storingen in de bodem planten zich niet voort zodat  $\phi_2 = 0$ .

De startwaarde moet aan twee voorwaarden voldoen wil het Newton-Raphson proces toegepast kunnen worden:

- 1<sup>o</sup>  $g'(\phi) \neq 0$
- 2<sup>o</sup>  $g(\phi) \times g''(\phi) > 0$



De eerste eis houdt in dat de raaklijn aan de kromme niet horizontaal mag zijn waardoor geen snijpunt met de horizontale as wordt verkregen. De tweede eis zorgt er voor dat de kromme zich in het uitgangspunt met de convexe (bolle) kant naar de horizontale as toekeert.

Deze voorwaarden zullen nu voor  $\phi = 1 + F^{-2}$  gecontroleerd worden:

$$\begin{aligned} 1^{\circ} \quad g'(\phi) &= 3\phi^2 - 4\phi + (1 - F^{-2}) \\ &= 3(1 + 2F^{-1} + F^{-2}) - 4(1 + F^{-1}) + (1 - F^{-2}) \\ &= 2F^{-1} + 2F^{-2} \end{aligned}$$

$$0 < F < 1 \Rightarrow \infty > g'(\phi) > 4$$

$$\begin{aligned} 2^{\circ} \quad g''(\phi) &= 6\phi - 4 \\ g(\phi) \cdot g''(\phi) &= \psi F^{-2} [6(1 + F^{-1}) - 4] \\ \psi F^{-2} &> 0, \quad 6(1 + F^{-1}) - 4 < 2 \end{aligned}$$

Met de startwaarde  $1 + F^{-1}$  is dus aan beide eisen voldaan en aan de hand hiervan kan  $\phi_1$  bepaald worden.

De overige twee wortels worden bepaald uit:

$$(\phi - \phi_1) (\phi^2 + b\phi + c) = 0 \tag{5}$$

$$\phi_2 = -\frac{1}{2}b + \sqrt{\left(-\frac{1}{2}b\right)^2 - c} \tag{6}$$

$$\phi_3 = -\frac{1}{2}b - \sqrt{\left(-\frac{1}{2}b\right)^2 - c} \tag{7}$$

Waarbij  $\phi_2$  de relatieve voortplantingssnelheid van een storing in de bodem voorstelt.

$\phi_1$  idem in de waterspiegel stroomafwaarts

$\phi_3$  idem stroomopwaarts.

#### 4.2.2 Bepalen van u, a en z op het niveau $t + \Delta t$ als op het niveau $t$ alles bekend is.

##### 4.2.2.1 Veldpunten

Er wordt uitgegaan van een vast roosterwerk met als punten

$$x = r \cdot \Delta x = r \cdot h \quad r = 0, \dots, N \tag{8}$$

$$t = s \cdot \Delta t = s \cdot k \quad s = 0, 1, 2, \dots \tag{9}$$

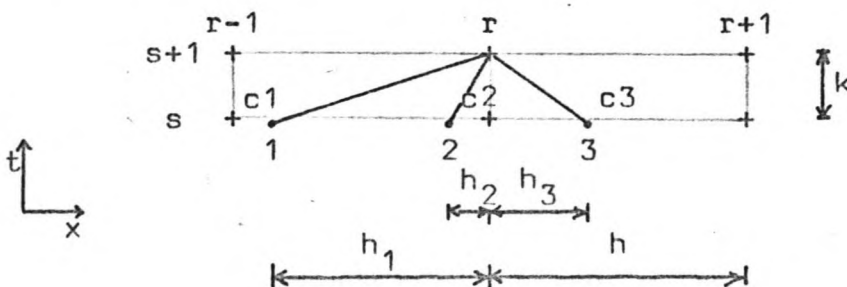


fig. 2

De compatibiliteitsvoorwaarde 3.8 geschreven met eindige differenties luidt:

$$\Delta u + g \cdot \frac{1}{c-u} \cdot \Delta a + g \cdot \frac{1}{c} \cdot \Delta z = W \cdot \Delta t \quad (10)$$

De karakteristieke richtingen moeten bekend zijn om deze vergelijking toe te kunnen passen. Een mogelijkheid zou zijn om proberenderwijs de punten 1, 2 en 3 zodanig te bepalen, dat de karakteristieken ervan elkaar juist in het punt  $r, s+1$  snijden. Er wordt dan gerekend vanaf het niveau  $t$  naar het niveau  $t+\Delta t$  (zie fig. 3a).

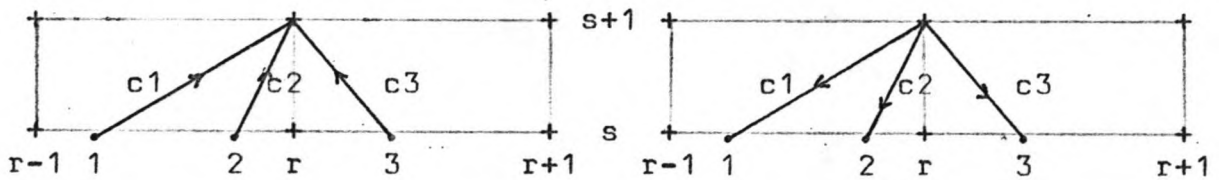


fig. 3a

fig. 3b

Dit proces vereist veel rekenwerk omdat in de punten 1, 2 en 3 dan bij iedere schatting steeds de 3 karakteristieke richtingen bepaald moeten worden en gekeken moet worden of één ervan door het punt  $r, s+1$  gaat. Een andere manier is om in het punt  $r, s+1$  de karakteristieke richtingen te bepalen en dan het snijpunt te bepalen van  $c_1$ ,  $c_2$  en  $c_3$  op het niveau  $t$  (fig. 3b). Er wordt dan gerekend vanaf het niveau  $t+\Delta t$  naar het niveau  $t$ . In het punt  $r, s+1$  zijn echter  $u$ ,  $a$  en  $z$  onbekend en daarmee ook de karakteristieke richtingen. Als eerste benadering worden daarom de waarden hiervan in het punt  $r, s$  genomen zodat:

$$\begin{aligned} h_1 &= -c_{1,r,s} \cdot k & p_1 &= h_1/h & h_1 &= (r+p_1) \cdot h \\ h_2 &= -c_{2,r,s} \cdot k & p_2 &= h_2/h & h_2 &= (r+p_2) \cdot h \\ h_3 &= -c_{3,r,s} \cdot k & p_3 &= h_3/h & h_3 &= (r+p_3) \cdot h \end{aligned} \quad (11)$$

De waarden van  $u$ ,  $a$  en  $z$  in de punten 1, 2 en 3 kunnen bepaald worden door interpolatie volgens Lagrange:

$$F = \frac{1}{2}p(p-1)F_{r-1,s} + (1-p^2)F_{r,s} + \frac{1}{2}p(p+1)F_{r+1,s} \quad (12)$$

waarin voor  $F$  achtereenvolgens  $u$ ,  $a$  en  $z$  ingevuld moet worden en voor  $p$   $p_1$ ,  $p_2$  en  $p_3$ .

De vergelijkingen die langs de karakteristieken gelden worden dan:

$$(u_{r,s+1} - u_{r+pi,s}) + \frac{q}{c_{i,r,s} \cdot u_{r,s}} (a_{r,s+1} - a_{r+pi,s}) + \frac{q}{c_{i,r,s}} (z_{r,s+1} - z_{r+pi,s}) = W_{r,s} \cdot k \quad (13)$$

Voor  $i=1,2,3$  geeft dit een stelsel van 3 vergelijkingen met 3 onbekenden, namelijk  $u$ ,  $a$  en  $z$  in het punt  $r,s+1$ .

Stel:

$$\frac{q}{c_{i,r,s} \cdot u_{r,s}} = L_i$$

$$\frac{q}{c_{i,r,s}} = M_i$$

$$W_{r,s} \cdot k = N$$

$$\begin{aligned} u_{r,s+1} &= u & u_{r+pi,s} &= u_i \\ a_{r,s+1} &= a & a_{r+pi,s} &= a_i \\ z_{r,s+1} &= z & z_{r+pi,s} &= z_i \end{aligned}$$

zodat  $u + L_i \cdot a + M_i \cdot z = N + u_i + L_i \cdot a_i + M_i \cdot z_i \quad i=1,2,3 \quad (14)$

dan wordt het stelsel vergelijkingen:

$$\begin{cases} u + L_1 \cdot a + M_1 \cdot z = N + u_1 + L_1 \cdot a_1 + M_1 \cdot z_1 \\ u + L_2 \cdot a + M_2 \cdot z = N + u_2 + L_2 \cdot a_2 + M_2 \cdot z_2 \\ u + L_3 \cdot a + M_3 \cdot z = N + u_3 + L_3 \cdot a_3 + M_3 \cdot z_3 \end{cases} \quad (15)$$

Met de eliminatie methode van Gauss volgt hieruit:

$$z = \frac{[L_1((u_2 - u_3) + (L_2 \cdot a_2 - L_3 \cdot a_3) + (M_2 \cdot z_2 - M_3 \cdot z_3)) + L_2((u_3 - u_1) + (L_3 \cdot a_3 - L_1 \cdot a_1) + (M_3 \cdot z_3 - M_1 \cdot z_1)) + L_3((u_1 - u_2) + (L_1 \cdot a_1 - L_2 \cdot a_2) + (M_1 \cdot z_1 - M_2 \cdot z_2))]}{[L_1(M_2 - M_3) + L_2(M_3 - M_1) + L_3(M_1 - M_2)]} \quad (16)$$

$$a = \frac{[(u_2 - u_1) + (L_2 \cdot a_2 - L_1 \cdot a_1) + (M_2 \cdot z_2 - M_1 \cdot z_1) - (M_2 - M_1)z]}{[L_2 - L_1]} \quad (17)$$

$$u = N + u_1 + L_1 \cdot a_1 + M_1 \cdot z_1 - (L_1 \cdot a + M_1 \cdot z) \quad (18)$$

Wat hier gevonden is, is een eerste benadering voor  $u$ ,  $a$  en  $z$  in het nieuwe punt. De waarden hiervan kunnen verbeterd worden door nu in het punt  $r,s+1$  de karakteristieke richtingen te bepalen en het gehele proces te herhalen vanaf vergelijking 11. Beter is nog om uit te gaan van de gemiddelde waarden van de grootheden tussen het punt  $r,s+1$  op het niveau  $t+\Delta t$  en de punten 1, 2 en 3 op het niveau  $t$ . Als verbetering voor de geschatte waarden moet dan gebruik gemaakt worden van het stelsel vergelijkingen:

$$\begin{aligned}
 & (u_{r,s+1} - u_{r+pi}) + \frac{1}{2} \cdot \left[ \frac{q}{c_{i_{r,s+1}} - u_{r,s+1}} + \frac{q}{c_{i_{r+pi,s}} - u_{r+pi,s}} \right] \cdot \\
 & (a_{r,s+1} - a_{r+pi,s}) + \frac{1}{2} \cdot \left[ \frac{q}{c_{i_{r,s+1}}} + \frac{q}{c_{i_{r+pi,s}}} \right] \cdot (z_{r,s+1} - z_{r+pi,s}) = \\
 & \frac{1}{2} \cdot (w_{r,s+1} + w_{r+pi,s}) \cdot k \quad i=1,2,3 \quad (19)
 \end{aligned}$$

Wel moeten dan eerst nieuwe snijpunten  $r+pi,s$  bepaald worden aan de hand van de gemiddelde waarden voor  $c_{i_{r,s+1}}$  en  $c_{i_{r+pi,s}}$ . Dit vereist dus een zeer aanzienlijke hoeveelheid rekenwerk meer.

#### 4.2.2.2 Randpunten ter plaatse van de spoelsluis

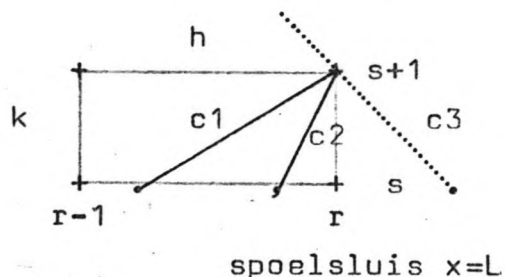


fig. 4

Van de drie vergelijkingen kunnen slechts twee gebruikt worden voor het oplossen van  $u$ ,  $a$  en  $z$  in  $r,s+1$  omdat  $c3$  geen snijpunt heeft binnen het  $x,t$ -diagram op het niveau  $s$ . Er moet daarom een extra voorwaarde zijn waaraan voldaan moet worden. Hier is dit, omdat we te maken hebben met een volkomen overlaat:  $a = m \frac{u^2}{2g}$  (zie hoofdstuk 3.3). Het stelsel vergelijkingen wordt dus:

$$\begin{cases}
 u + L1 \cdot a + M1 \cdot z = N + u1 + L1 \cdot a1 + M1 \cdot z1 & (20) \\
 u + L2 \cdot a + M2 \cdot z = N + u2 + L2 \cdot a2 + M2 \cdot z2 & (21) \\
 a = m \frac{u^2}{2g} & (22)
 \end{cases}$$

Uit vergelijking 20 en 21 kan  $z$  geëlimineerd worden, waarna met 22 een tweede graads vergelijking in  $u$  verkregen wordt.

BIJLAGE 4.3

Benadering van de wortels van de karakteristieke vergelijking voor  $F=1$ .

$$1^{\circ} \text{ Stel } \varnothing 1 = 2 + a_1 \varepsilon + b_1 d \quad (1)$$

$$\varnothing 2 = a_2 \varepsilon + b_2 d \quad (2)$$

$$\varnothing 3 = a_3 \varepsilon + b_3 d \quad (3)$$

$$\text{met } d = \sqrt{\psi}$$

dan geldt:

$$\varnothing 1 + \varnothing 2 + \varnothing 3 = 2 + (a_1 + a_2 + a_3) \varepsilon + (b_1 + b_2 + b_3) d \quad (4)$$

$$\begin{aligned} \varnothing 1 \cdot \varnothing 2 + \varnothing 1 \cdot \varnothing 3 + \varnothing 2 \cdot \varnothing 3 = & 2(a_2 + a_3) \varepsilon + 2(b_2 + b_3) d + \\ & (a_1 a_2 + a_1 a_3 + a_2 a_3) \varepsilon^2 + \\ & (a_1(b_2 + b_3) + a_2(b_1 + b_3) + a_3(b_1 + b_2)) \varepsilon d + \\ & (b_1 b_2 + b_1 b_3 + b_2 b_3) d^2 \end{aligned} \quad (5)$$

$$\begin{aligned} \varnothing 1 \cdot \varnothing 2 \cdot \varnothing 3 = & 2a_2 a_3 \varepsilon^2 + 2(a_2 b_3 + a_3 b_2) \varepsilon d + 2b_2 b_3 d^2 + \\ & a_1 a_2 a_3 \varepsilon^3 + (a_1 a_2 b_3 + a_1 a_3 b_2 + a_2 a_3 b_1) \varepsilon^2 d + \\ & (a_1 b_2 b_3 + a_2 b_1 b_3 + a_3 b_1 b_2) \varepsilon d^2 + b_1 b_2 b_3 d^3 \end{aligned} \quad (6)$$

$$\text{Stel } F = 1 + \varepsilon \quad (7)$$

$$\text{dan } F^2 = 1 + 2\varepsilon + \varepsilon^2 \quad (8)$$

$$\text{en } F^{-2} = 1 - 2\varepsilon - \varepsilon^2$$

Uit de karakteristieke vergelijking 3.9 volgt:

$$\varnothing 1 + \varnothing 2 + \varnothing 3 = 2 \quad (10)$$

$$(4) \ \& \ (10) \Rightarrow a_1 + a_2 + a_3 = 0 \quad (11)$$

$$\text{en } b_1 + b_2 + b_3 = 0 \quad (12)$$

$$\begin{aligned} \varnothing 1 \cdot \varnothing 2 + \varnothing 1 \cdot \varnothing 3 + \varnothing 2 \cdot \varnothing 3 = & 1 - F^{-2} \quad (13) \\ = & +2\varepsilon + \varepsilon^2 \end{aligned} \quad (13)$$

$$(5) \ \& \ (13) \Rightarrow 2(a_2 + a_3) \varepsilon = +2 \Rightarrow a_2 + a_3 = 1 \quad (14)$$

$$\text{en } 2(b_2 + b_3) d = 0 \Rightarrow b_2 = -b_3 \quad (15)$$

$$\begin{aligned} \varnothing 1 \cdot \varnothing 2 \cdot \varnothing 3 = & -\psi F^{-2} \\ = & -\psi + 2\psi + \psi^2 \end{aligned} \quad (16)$$

$$(6) \text{ \& } (16) \Rightarrow \begin{cases} 2a_2 a_3 \varepsilon^2 = 0 & (17) \end{cases}$$

$$\begin{cases} 2(a_2 b_3 + a_3 b_2) \sqrt{\psi} = 0 & (18) \end{cases}$$

$$\begin{cases} 2b_2 b_3 \psi = -\psi \Rightarrow b_2 b_3 = -\frac{1}{2} & (19) \end{cases}$$

$$\text{en } \begin{cases} a_1 a_2 a_3 \varepsilon^3 = 0 & (20) \end{cases}$$

$$\begin{cases} (a_1 a_2 b_3 + a_1 a_3 b_2 + a_2 a_3 b_1) \varepsilon^2 \sqrt{\psi} = 0 & (21) \end{cases}$$

$$\begin{cases} (a_1 b_2 b_3 + a_2 b_1 b_3 + a_3 b_1 b_2) \varepsilon \psi = -2\psi \varepsilon & (22) \end{cases}$$

zodat:  $a_1 = 1 \quad b_1 = 0$

$$a_2 = \frac{1}{2} \quad b_2 = +\sqrt{\frac{\psi}{2}} \quad (23) \dots (28)$$

$$a_3 = \frac{1}{2} \quad b_3 = -\sqrt{\frac{\psi}{2}}$$

$$\text{en } \varphi_1 = 2 - \varepsilon \quad (29)$$

$$\varphi_2 = \frac{1}{2} \varepsilon + \sqrt{\frac{\psi}{2}} \quad (30)$$

$$\varphi_3 = \frac{1}{2} \varepsilon - \sqrt{\frac{\psi}{2}} \quad (31)$$

$$2^0 \quad G(\varphi, F, \psi) = \varphi^3 - 2\varphi^2 + (1-F^{-2})\varphi + \psi F^{-2} = 0 \quad (32)$$

$$\frac{\partial \varphi}{\partial F} = \frac{-\partial G / \partial F}{\partial G / \partial \varphi} \quad (33)$$

$$\partial G / \partial F = 2F^{-3}(\varphi - \psi) \quad (34)$$

$$\partial G / \partial \varphi = 3\varphi^2 - 4\varphi + 1 - F^{-2} \quad (35)$$

$$\frac{\partial \varphi}{\partial F} = \frac{-2F^{-3}(\varphi - \psi)}{3\varphi^2 - 4\varphi + 1 - F^{-2}} \quad (36)$$

$$\left[ \frac{\partial \varphi}{\partial F} \right]_{F=1} = \frac{-2(\varphi - \psi)}{\varphi(3\varphi - 4)} \quad (37)$$

$$\varphi_1 = 2 \Rightarrow \frac{\partial \varphi}{\partial F} = -1$$

$$\varphi_2 = \sqrt{\frac{\psi}{2}} \Rightarrow \frac{\partial \varphi}{\partial F} = \frac{-2(\sqrt{\frac{\psi}{2}} - 2 \cdot \frac{1}{2} \psi)}{\sqrt{\frac{\psi}{2}}(3\sqrt{\frac{\psi}{2}} - 4)} = \frac{4\sqrt{\frac{\psi}{2}} - 2}{3\sqrt{\frac{\psi}{2}} - 4} \approx \frac{1}{2}$$

$$\varphi_3 = -\sqrt{\frac{\psi}{2}} \Rightarrow \frac{\partial \varphi}{\partial F} \approx \frac{1}{2}$$

hetgeen dezelfde oplossing geeft als onder  $1^0$  (29, 30 en 31).

De fout in het produkt van de wortels is als volgt te berekenen:

$$-\varphi_1 \cdot \varphi_2 \cdot \varphi_3 = -(2 - \varepsilon) \left( \frac{1}{2} \varepsilon^2 - \frac{1}{2} \psi \right) = -\frac{1}{2} \varepsilon^2 + \psi + \frac{1}{4} \varepsilon^3 - \frac{1}{2} \varepsilon \psi$$

$$\psi \cdot F^{-2} = \psi(1 - 2\varepsilon - \varepsilon^2) = \psi - 2\varepsilon\psi - \varepsilon^2\psi$$

$$\text{aftrekken geeft: } \Delta \varphi_1 \cdot \varphi_2 \cdot \varphi_3 = -\frac{1}{2} \varepsilon^2 + \frac{1}{4} \varepsilon^3 - \frac{3\varepsilon\psi}{2} + \varepsilon^2\psi$$

Kromming van de functie  $G(\phi, F, \psi)$  voor  $F=1$ .

$$(36) \Rightarrow (3\phi^2 - 4\phi + 1 - F^{-2}) \frac{\partial \phi}{\partial F} + 2F^{-3}(\phi - \psi) = 0 \quad (38)$$

$$\frac{\partial^2 G}{\partial F^2} + 2 \frac{\partial^2 G}{\partial F \partial \phi} \cdot \frac{\partial \phi}{\partial F} + \frac{\partial^2 G}{\partial \phi^2} \cdot \left(\frac{\partial \phi}{\partial F}\right)^2 + \frac{\partial G}{\partial \phi} \cdot \frac{\partial^2 \phi}{\partial F^2} = 0 \quad (39)$$

$$\begin{aligned} \partial G / \partial F &= 2F^{-3}(\phi - \psi) \\ \partial^2 G / \partial F^2 &= -6F^{-4}(\phi - \psi) \end{aligned} \quad (40)$$

$$\partial^2 G / \partial F \partial \phi = 2F^{-3}$$

$$\partial G / \partial \phi = 3\phi^2 - 4\phi + 1 - F^{-2}$$

$$\partial^2 G / \partial \phi^2 = 6\phi - 4$$

$$\partial^2 G / \partial F^2 = 2F^{-3}(\phi - \psi)$$

$$2 \frac{\partial^2 G}{\partial F \partial \phi} \cdot \frac{\partial \phi}{\partial F} = 4F^{-3} \cdot \frac{-2F^{-3}(\phi - \psi)}{3\phi^2 - 4\phi + 1 - F^{-2}} \quad (41)$$

$$\frac{\partial^2 G}{\partial \phi^2} \cdot \left(\frac{\partial \phi}{\partial F}\right)^2 = (6\phi - 4) \cdot \left[ \frac{-2F^{-3}(\phi - \psi)}{3\phi^2 - 4\phi + 1 - F^{-2}} \right]^2 \quad (42)$$

$$\partial G / \partial \phi = 3\phi^2 - 4\phi + 1 - F^{-2} \quad (43)$$

$F = 1$	$\phi_1 = 2$	$\phi_2 = \sqrt{\frac{1}{2}\psi}$	$\phi_3 = -\sqrt{\frac{1}{2}\psi}$
(40) =	4	$2\sqrt{\frac{1}{2}\psi} - 2\psi$	$-2\sqrt{\frac{1}{2}\psi} - 2\psi$
(41)	-4	2	2
(42)	-8	$3\sqrt{\frac{1}{2}\psi}/2 - 1$	$-3\sqrt{\frac{1}{2}\psi}/2 - 1$
(43)	4	$3\psi/2 - 4\sqrt{\frac{1}{2}\psi}$	$3\psi/2 + 4\sqrt{\frac{1}{2}\psi}$

$$\frac{\partial^2 \phi}{\partial F^2} = -\frac{4 - 4 - 8}{4} = +2 \quad \text{voor } \phi_1$$

$$\frac{\partial^2 \phi}{\partial F^2} = \frac{2\sqrt{\frac{1}{2}\psi} - 2\psi + 2 + 3\sqrt{\frac{1}{2}\psi}/2 - 1}{4\sqrt{\frac{1}{2}\psi} - 3\psi/2}$$

stel  $\sqrt{\frac{1}{2}\psi} = f$

$$= \frac{4f - 8f^2 + 2 + 3f}{8f - 3f^2} = \frac{1 \cdot 8f^2 - 7f - 2}{f \cdot 6f - 8} \approx \frac{1}{4f} \quad \text{voor } \phi_2$$

Hetzelfde resultaat wordt gevonden voor  $\phi_3$ .

BIJLAGE 4.4

Dimensieloze grootheden.

Stel:  $u = U \cdot \tilde{u}$  (1)

$a = A \cdot \tilde{a}$  (2)

$z = \frac{S}{\Omega} \cdot \tilde{z}$  (3)

$x = L \cdot \tilde{x}$  (4)

$t = \frac{L}{\Omega} \cdot \tilde{t}$  (5)

$\frac{S}{\Omega} = \frac{S}{U \cdot A} \cdot \frac{U \cdot A}{\Omega} = \frac{\Psi}{\beta} \cdot \sqrt{\frac{\Psi}{2}} \cdot A = \frac{2}{\beta} \cdot \sqrt{\frac{\Psi}{2}} \cdot A$  (6)

Ingevuld in de bewegingsvergelijking 3.1 geeft dit:

$$\frac{U \cdot \Omega}{L} \cdot \frac{\partial \tilde{u}}{\partial \tilde{t}} + \frac{U^2}{L} \cdot \tilde{u} \frac{\partial \tilde{u}}{\partial \tilde{x}} + \frac{gA}{L} \cdot \frac{\partial \tilde{a}}{\partial \tilde{x}} + \frac{gS}{L\Omega} \cdot \frac{\partial \tilde{z}}{\partial \tilde{x}} = -g \cdot \frac{U^2}{C^2 \cdot A} \cdot \frac{\tilde{u}^2}{\tilde{a}}$$

Vermenigvuldigen met  $L/U^2$  en gebruik maken van (6) geeft:

$$\sqrt{\frac{\Psi}{2}} \cdot \frac{\partial \tilde{u}}{\partial \tilde{t}} + \tilde{u} \frac{\partial \tilde{u}}{\partial \tilde{x}} + F^{-2} \cdot \frac{\partial \tilde{a}}{\partial \tilde{x}} + F^{-2} \cdot \frac{2}{\beta} \sqrt{\frac{\Psi}{2}} \cdot \frac{\partial \tilde{z}}{\partial \tilde{x}} = -g \cdot \frac{L}{C^2 A} \cdot \frac{\tilde{u}^2}{a}$$
 (7)

Terwijl de continuïteitsvergelijking 3.2 wordt:

$$\frac{AU}{L} \cdot \tilde{a} \frac{\partial \tilde{u}}{\partial \tilde{x}} + \frac{UA}{L} \cdot \tilde{u} \frac{\partial \tilde{a}}{\partial \tilde{x}} + \frac{A \cdot \Omega}{L} \cdot \frac{\partial \tilde{a}}{\partial \tilde{t}} + \frac{S \cdot \Omega}{\Omega L} \cdot \frac{\partial \tilde{z}}{\partial \tilde{t}} = 0$$

Na vermenigvuldiging met  $L/AU$ :

$$\tilde{a} \frac{\partial \tilde{a}}{\partial \tilde{x}} + \tilde{u} \frac{\partial \tilde{a}}{\partial \tilde{x}} + \sqrt{\frac{\Psi}{2}} \cdot \frac{\partial \tilde{a}}{\partial \tilde{t}} + \frac{A \cdot \Psi}{\beta L} \cdot \frac{\partial \tilde{z}}{\partial \tilde{t}} = 0$$
 (8)

Hieruit blijkt dat  $\partial u / \partial t$ ,  $\partial z / \partial x$  en  $\partial z / \partial t$  klein zijn t.o.v. de andere termen. De verwaarlozing van één of meerdere van deze termen en het resultaat daarvan is beschreven in 4.4.

(1) t/m (5) ingevuld in de compatibiliteitsvoorwaarde 3.8 geeft na uitwerking:

$$F^2 \cdot \tilde{u} d\tilde{u} + \frac{1}{\phi - 1} \cdot d\tilde{a} + \frac{1 \cdot 2}{\phi \beta} \sqrt{\frac{\Psi}{2}} \cdot d\tilde{z} = -\frac{U^3 L}{A^2} \cdot \sqrt{\frac{2}{\Psi}} \cdot \frac{\tilde{u}^3}{C^2 \cdot \tilde{a}} \cdot dt$$
 (9)

Zowel voor  $\phi = \sqrt{\frac{2}{\Psi}}$  als  $\phi = 2$  kunnen ook hier geen verwaarlozingen toegepast worden.

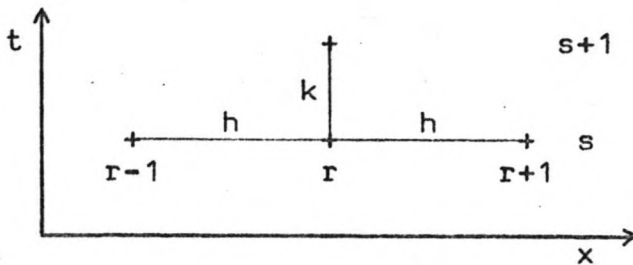


BIJLAGE 5.1

Onderzoek naar de mogelijkheid om de continuïteitsvergelijking voor het sediment expliciet te nemen.

De gelineariseerde partiële differentiaalvergelijkingen luiden:

$$\begin{aligned} \frac{\partial u}{\partial t} + U \frac{\partial u}{\partial x} + g \frac{\partial a}{\partial x} + g \frac{\partial z}{\partial x} &= 0 \\ A \frac{\partial u}{\partial x} + U \frac{\partial a}{\partial x} + \frac{\partial a}{\partial t} + \frac{\partial z}{\partial t} &= 0 \\ S \frac{\partial u}{\partial x} + \frac{\partial z}{\partial t} &= 0 \end{aligned} \quad (1)$$



Voor de continuïteitsvergelijking van het sediment geldt, indien deze expliciet wordt genomen:

$$\frac{\partial u}{\partial x} = \frac{u_{r+1}^s - u_{r-1}^s}{2h} \quad (2)$$

$$\frac{\partial z}{\partial t} = \frac{z_r^{s+1} - \frac{1}{2}\alpha \cdot z_{r-1}^s + (1-\alpha) \cdot z_r^s + \frac{1}{2}\alpha \cdot z_{r+1}^s}{k} \quad (3)$$

Het onderzoek naar de stabiliteit gaat op gelijke manier zoals bij gebruik van het impliciete schema voor alle drie de basisvergelijkingen.

Stel

$$\begin{aligned} u_r^s &= U^s \cdot e^{i\beta r h} \\ z_r^s &= Z^s \cdot e^{i\beta r h} \\ z_r^{s+1} &= Z^{s+1} \cdot e^{i\beta r h} \end{aligned}$$

Invullen geeft:

$$\frac{S}{2h} \cdot u_r^s \cdot (e^{i\beta h} - e^{-i\beta h}) + \frac{1}{k} \cdot z_r^{s+1} - \frac{1}{k} \cdot z_r^s \cdot (\frac{1}{2}\alpha \cdot (e^{i\beta h} + e^{-i\beta h}) + (1-\alpha)) = 0$$

Vermenigvuldigen met 2h en de termen s naar het rechterlid brengen geeft:

$$4\theta\gamma \cdot z_r^{s+1} = -SH^* \cdot u_r^s + 4\theta\gamma \cdot K^* \cdot z_r^s \quad (4)$$

met  $H^* = e^{i\beta h} - e^{-i\beta h}$

en  $K^* = \frac{1}{2}\alpha \cdot (e^{i\beta h} + e^{-i\beta h}) + (1-\alpha)$

De uitwerking van de determinant  $|V-\lambda W|=0$  zoals in 5.5 beschreven geeft nu:

$$\frac{1}{H^2\{\theta^{-1}-(1-\lambda)\}^2} \begin{vmatrix} C-U & -g & -g \\ -A & C-U & C \\ -SH^* & 0 & 4\theta \cdot (K^*-\lambda) \end{vmatrix} = 0 \quad (5)$$

met  $C = \frac{\gamma K(1-\lambda)}{H\{\theta^{-1}-(1-\lambda)\}}$

in plaats van de karakteristieke vergelijking krijgen we nu:

$$gUSH^* + 4\theta\gamma \cdot (K^*-\lambda) \cdot \{(C-U)^2 - gA\} = 0$$

met  $1-\lambda = \frac{1}{\theta} \frac{CH}{\gamma K + CH}$  geeft dit:

$$gUSH^* \cdot (\gamma K + CH) + 4\theta\gamma \cdot \{(K^*-1)(K+CH) + \theta^{-1}CH\} \cdot \{(C-U)^2 - gA\} = 0 \quad (6)$$

na delen door  $U^4K$  kan de vergelijking in de volgende dimensie-loze vorm worden geschreven:

$$\psi F^{-2} \Gamma H^* + \psi F^{-2} H^* (H/K) \cdot \phi + 4\theta \Gamma^2 \cdot (K^*-1) \cdot (\phi^2 - 2\phi + 1 - F^{-2}) + 4\theta \Gamma \cdot (K^*-1 + \theta^{-1}) \cdot (H/K) \cdot (\phi^3 - 2\phi^2 + (1-F^{-2})\phi) = 0 \quad (7)$$

met  $\psi = S/A$   
 $F^2 = U^2/gA$   
 $\Gamma = \gamma/U$   
 $\phi = C/U$

zodat  $\lambda = \frac{\Gamma + (1-\theta^{-1}) \cdot (H/K) \cdot \phi}{\Gamma + (H/K) \cdot \phi}$

verder geldt:

$$H^* = e^{i\beta h} - e^{-i\beta h} = 4i \cdot \sin(\beta h/2) \cdot \cos(\beta h/2)$$

$$K^* = \frac{1}{2}\alpha \cdot (e^{i\beta h} + e^{-i\beta h}) + 1 - \alpha = -2\alpha \cdot \sin^2(\beta h/2) + 1$$

$$\frac{H}{K} = i \cdot \tan(\beta h/2)$$

dit ingevuld in (7) geeft na deling door  $4 \cdot \tan(\beta h/2)$ :

$$\psi F^{-2} \Gamma \cdot i \cdot \cos^2(\beta h/2) - \psi F^{-2} \cdot \sin(\beta h/2) \cdot \cos(\beta h/2) + \theta \Gamma^2 \cdot (-2\alpha \cdot \sin(\beta h/2) \cdot \cos(\beta h/2)) \cdot (\phi^2 - 2\phi + 1 - F^{-2}) + \theta \Gamma \cdot (-2\alpha \cdot \sin^2(\beta h/2) + \theta^{-1}) \cdot i \cdot (\phi^3 - 2\phi^2 + (1-F^{-2})\phi) = 0 \quad (8)$$

deze vergelijking heeft in het algemeen complexe wortels stel  $\phi = a + b \cdot i$  dan volgt hieruit dat

$$\lambda = \frac{\Gamma + (1-\theta^{-1}) \cdot \tan(\beta h/2) \cdot i \cdot (a+bi)}{\Gamma + \tan(\beta h/2) \cdot i \cdot (a+bi)} \quad (9)$$

Indien gesteld wordt dat  $|\lambda| \leq 1$  geeft dit nu als voorwaarde

$$2\Gamma b + (-2 + \theta^{-1}) \cdot (a^2 + b^2) \cdot \tan(\beta h/2) = 0 \quad (10)$$

met  $0 \leq \beta h \leq \pi$  en dus  $0 \leq \tan(\beta h/2) \leq \infty$

Voor  $\theta = \frac{1}{2}$  en  $b \leq 0$  is aan de gestelde voorwaarde voldaan.

Voor  $b \geq 0$  moet gelden:

$$\frac{b}{a^2+b^2} \leq \frac{(2-\theta^{-1}) \cdot \tan(\rho h/2)}{2\Gamma} \quad (11)$$

Kies nu  $\Gamma = \frac{\gamma}{U} = \frac{1}{2\theta} \cdot \frac{h}{k} \cdot \frac{1}{U} = \frac{\sqrt{2} \cdot c_2}{2\theta} \cdot \frac{1}{U} = \frac{1}{2\theta} \cdot \sqrt{\psi}$

Het courant getal wordt dan  $\sigma = \frac{c_2}{h/k} = \frac{1}{\sqrt{2}}$

Ingevuld in (11) geeft dit de voorwaarde:

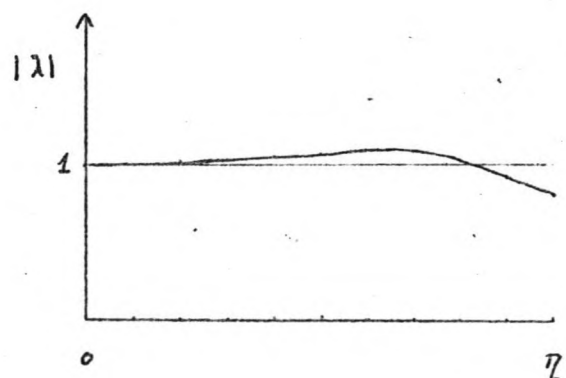
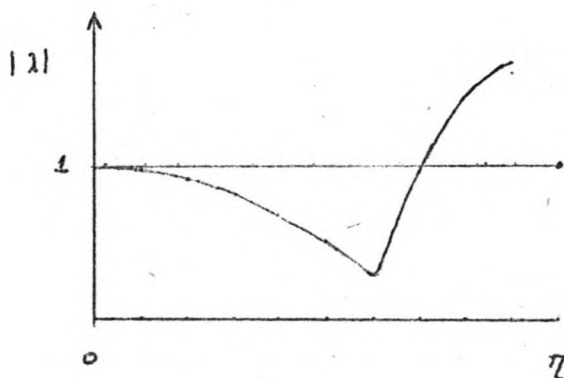
$$\frac{b}{a^2+b^2} \leq (2\theta - 1) \cdot \frac{1}{\sqrt{\psi}} \cdot \tan(h/2) \quad (12)$$

Als de complexe wortels van vergelijking (8) bekend zijn kan deze voorwaarde gecontroleerd worden. Twee bijzondere gevallen hiervan zijn  $\rho h=0$  en  $\rho h=\pi$  waarbij de karakteristieke vergelijking wordt verkregen van de waterbeweging met respectievelijk zonder sedimenttransport.

Voor tussenliggende waarden is het schema echter niet altijd stabiel. Voor de onderstaande gevallen zijn de complexe wortels bepaald en is voorwaarde (12) gecontroleerd.

	I	II	III	IV
$F = 1$		1	.95	.10
$\psi = .01$		.01	.01	.01
$\theta = 1$		.55	.55	.55
$\alpha = .75$		.5	.5	.5

De gevallen I en II zijn instabiel. In onderstaande figuren is voor deze gevallen  $|\lambda|$  uitgezet als functie van  $\rho h$ .



BIJLAGE 5.2

Het lineariseren van de partiële differentiaalvergelijkingen

$$\frac{\partial u}{\partial t} + u \frac{\partial u}{\partial x} + g \frac{\partial a}{\partial x} + g \frac{\partial z}{\partial x} = -\frac{g}{c^2} u^2$$

$$a \frac{\partial u}{\partial x} + u \frac{\partial a}{\partial x} + \frac{\partial a}{\partial t} + \frac{\partial z}{\partial t} = 0$$

$$\frac{\partial s}{\partial u} \cdot \frac{\partial u}{\partial x} + \frac{\partial z}{\partial t} = 0$$

stel  $s = \alpha \cdot u^5$  dan  $\frac{\partial s}{\partial u} = 5\alpha \cdot u^4$

stel  $u = U + u'$

$a = A + a'$

$z = Z + z'$

waarin  $u'$ ,  $a'$  en  $z'$  een kleine variatie aangeven ten opzichte van  $U$ ,  $A$  resp.  $Z$ . Er geldt dan:

$$\frac{\partial u}{\partial t} = \frac{\partial (U+u')}{\partial t} = \frac{\partial u'}{\partial t}$$

$$u \frac{\partial u}{\partial x} = (U+u') \cdot \frac{\partial (U+u')}{\partial x} = U \frac{\partial u'}{\partial x} + u' \frac{\partial u}{\partial x} \approx U \frac{\partial u'}{\partial x}$$

$$g \frac{\partial a}{\partial x} = g \frac{\partial a'}{\partial x}$$

$$g \frac{\partial z}{\partial x} = g \frac{\partial z'}{\partial x}$$

$$\begin{aligned} \frac{u^2}{a} &= \frac{(U+u')^2}{(A+a')} \approx (U^2 + 2Uu' + u'^2) \cdot \frac{1}{A} \cdot (1 - \frac{a'}{A}) \\ &\approx \frac{U^2}{A} + \frac{2Uu'}{A} - \frac{U^2}{A^2} \cdot a' \end{aligned}$$

$$a \frac{\partial u}{\partial x} = (A+a') \cdot \frac{\partial (U+u')}{\partial x} = A \frac{\partial u'}{\partial x} + a' \frac{\partial u'}{\partial x} \approx A \frac{\partial u'}{\partial x}$$

$$u \frac{\partial a}{\partial x} = U \frac{\partial a'}{\partial x}$$

$$\frac{\partial a}{\partial t} = \frac{\partial a'}{\partial t}$$

$$\frac{\partial z}{\partial t} = \frac{\partial z'}{\partial t}$$

$$u^4 \frac{\partial u}{\partial x} = (U+u')^4 \cdot \frac{\partial (U+u')}{\partial x} = (U^4 + 4U^3u' + \dots) \cdot \frac{\partial (U+u')}{\partial x} \approx U^4 \frac{\partial u'}{\partial x}$$

Ingevuld in de basisvergelijkingen geeft dit:

$$\frac{\partial u'}{\partial t} + U \frac{\partial u'}{\partial x} + g \frac{\partial a'}{\partial x} + g \frac{\partial z'}{\partial x} = -\frac{g}{C^2} \cdot \left( \frac{U^2}{A} + 2 \frac{U u'}{A} - \frac{U^2}{A^2} \cdot a' \right)$$

$$A \frac{\partial u'}{\partial x} + U \frac{\partial a'}{\partial x} + \frac{\partial a'}{\partial t} + \frac{\partial z'}{\partial t} = 0$$

$$5\kappa U^4 \frac{\partial u'}{\partial x} + \frac{\partial z'}{\partial t} = 0$$

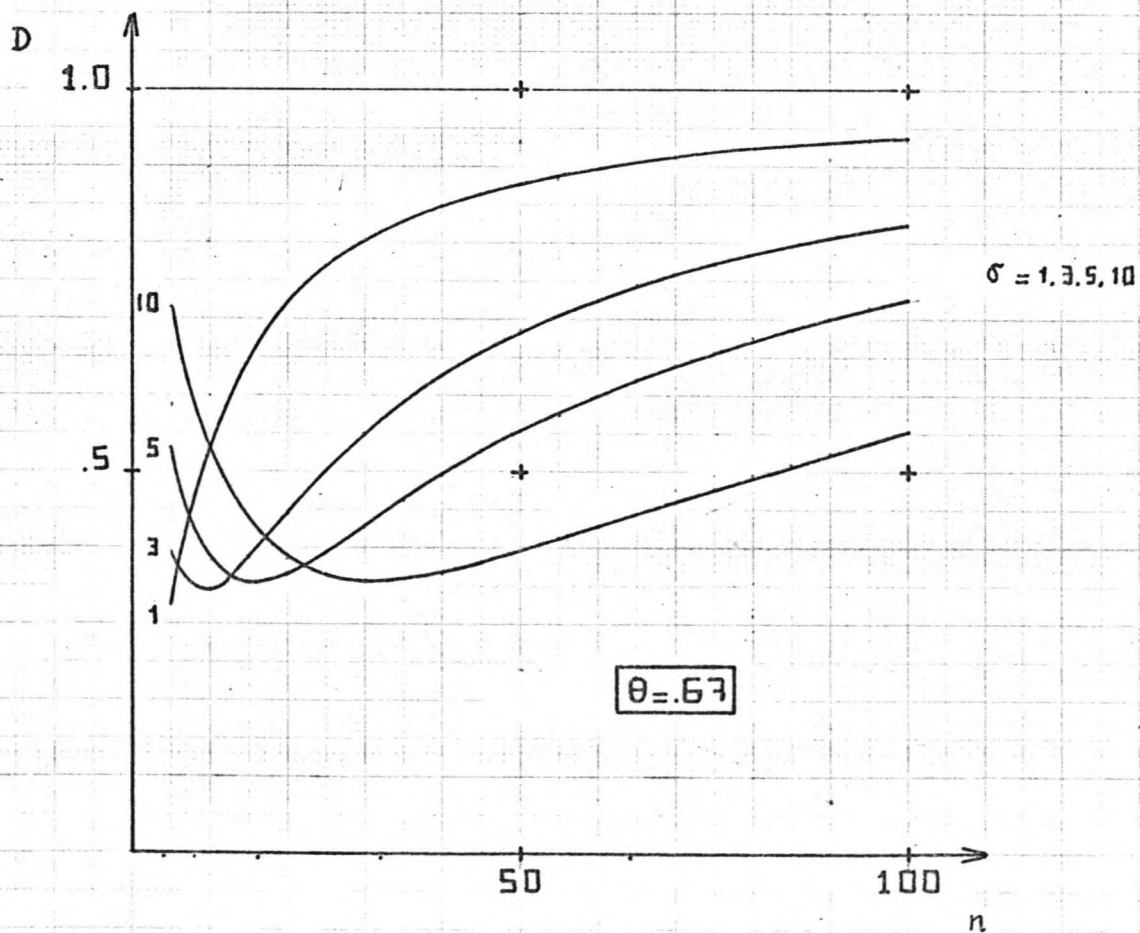
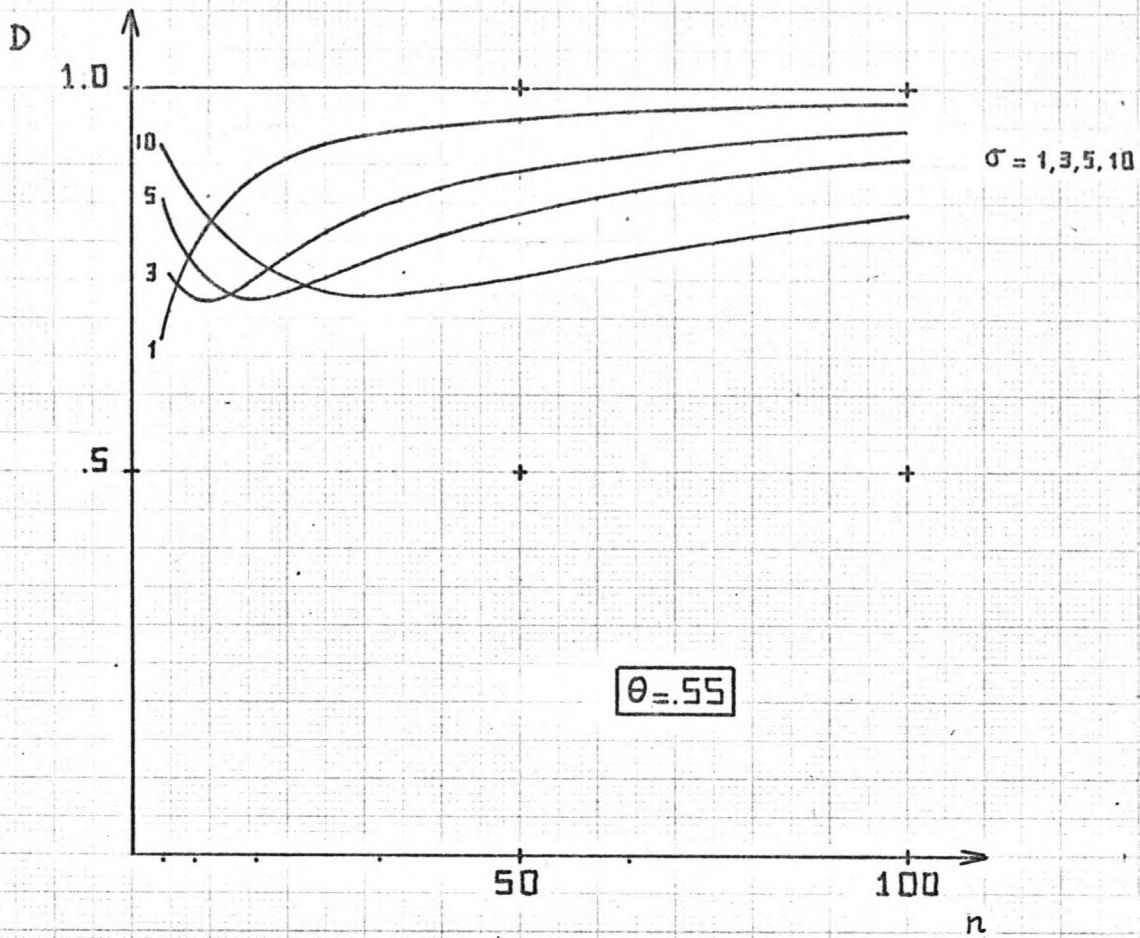
Weglaten van het rechterlid en de accenten geeft:

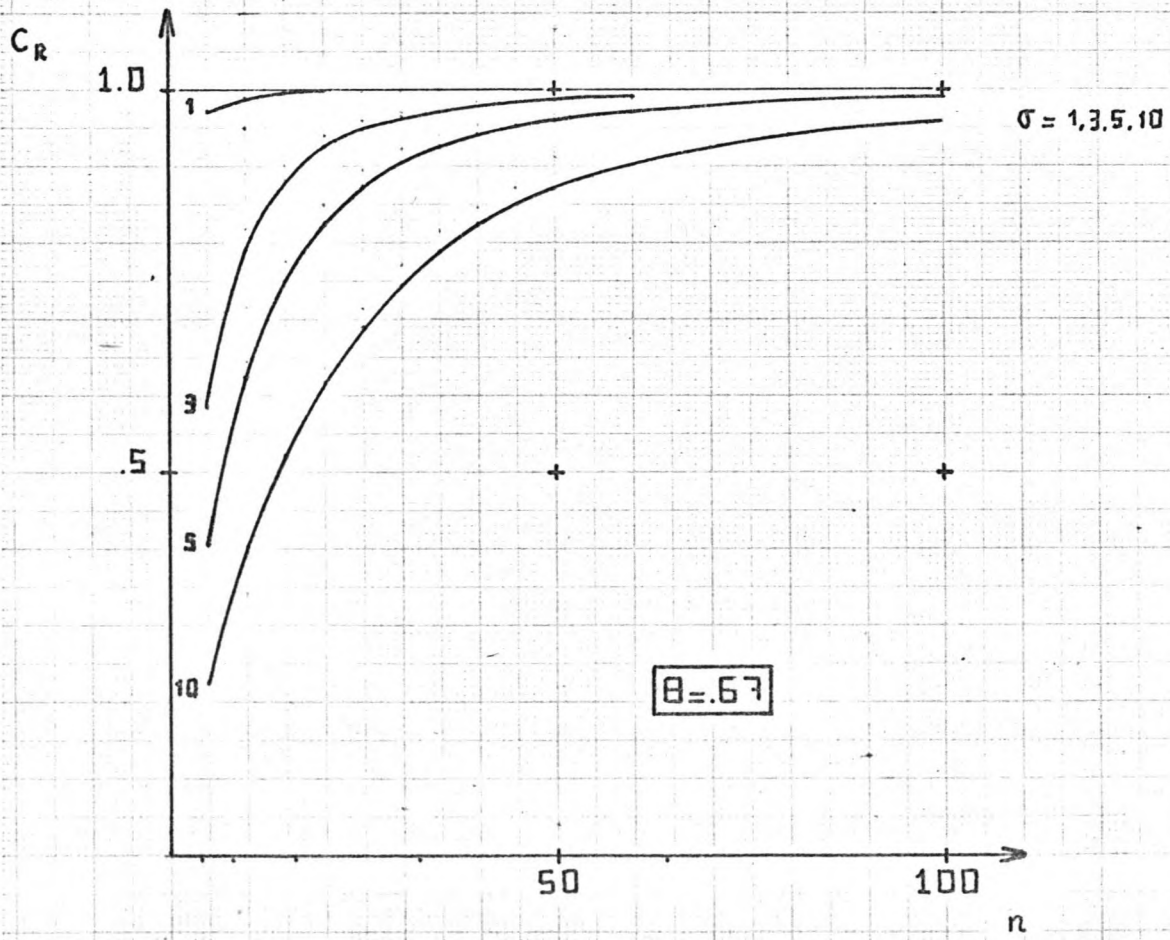
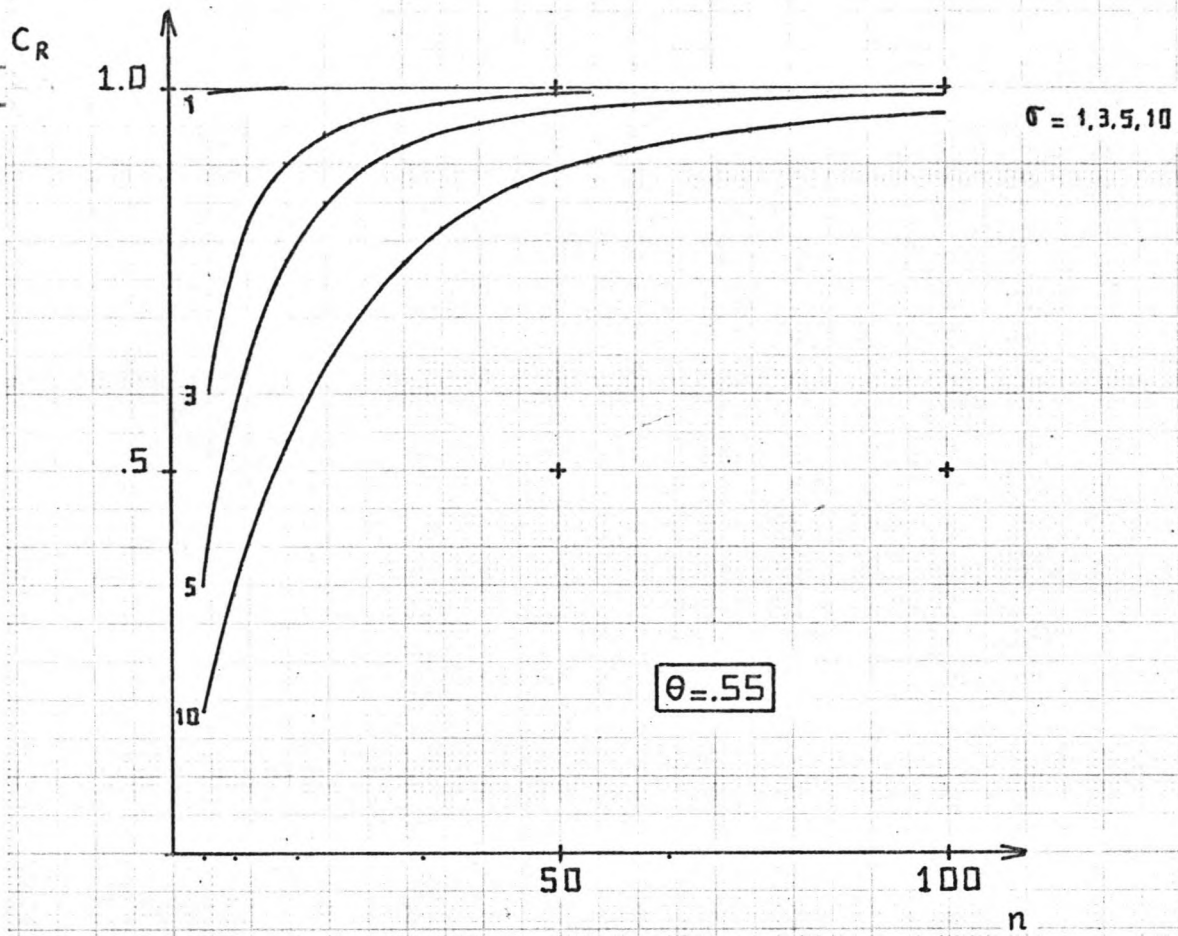
$$\frac{\partial u}{\partial t} + U \frac{\partial u}{\partial x} + g \frac{\partial a}{\partial x} + g \frac{\partial z}{\partial x} = 0$$

$$A \frac{\partial u}{\partial x} + U \frac{\partial a}{\partial x} + \frac{\partial a}{\partial t} + \frac{\partial z}{\partial t} = 0$$

$$S \frac{\partial u}{\partial x} + \frac{\partial z}{\partial t} = 0$$

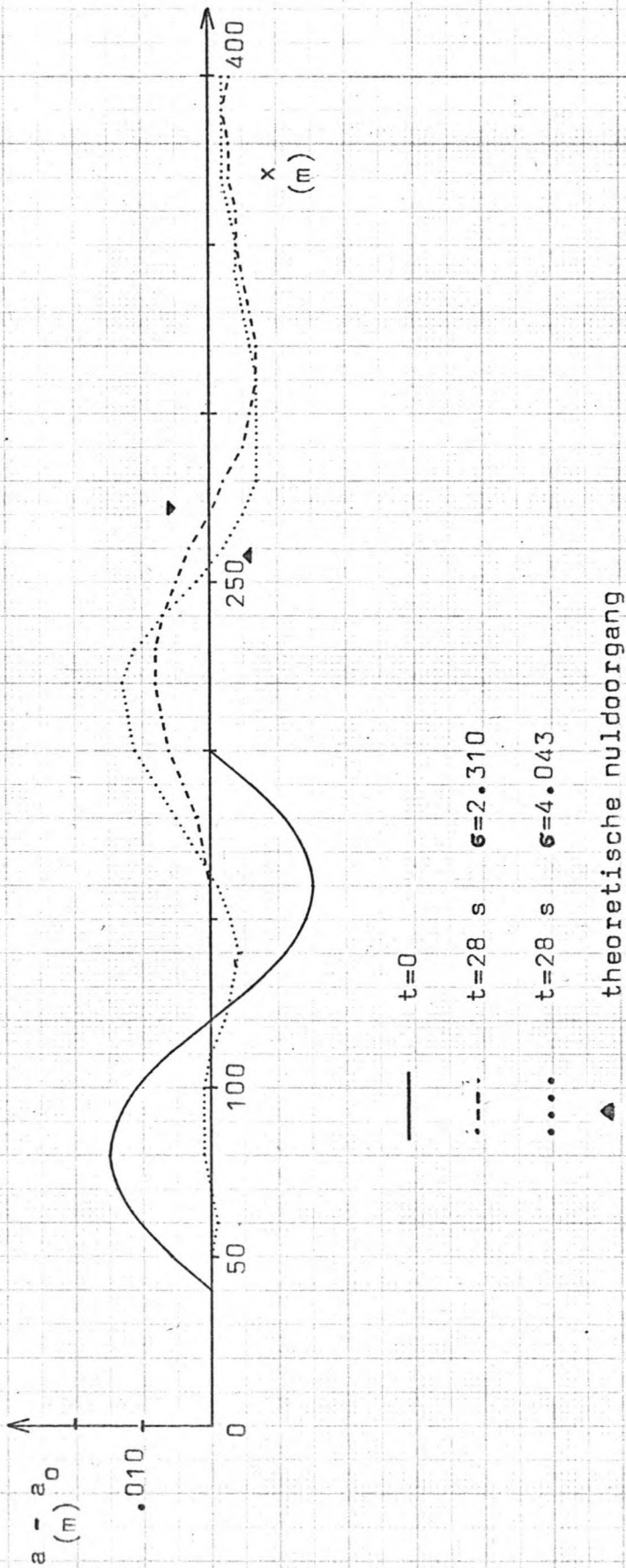
met  $S = 5\kappa \cdot U^4$





BIJLAGE 5.4

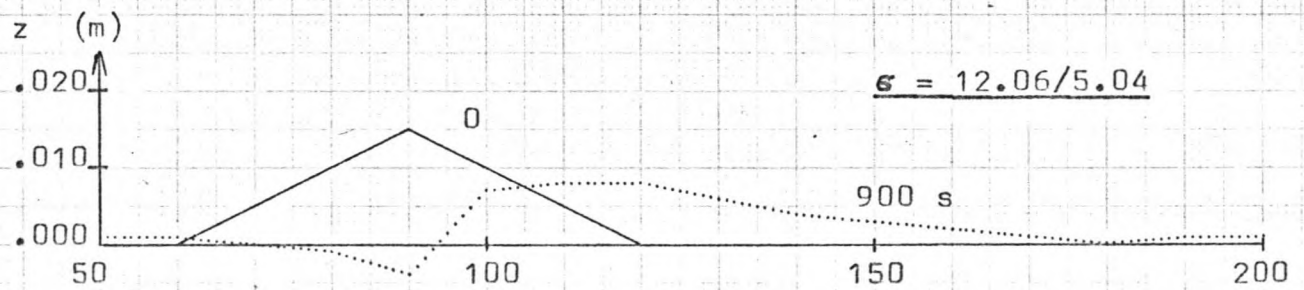
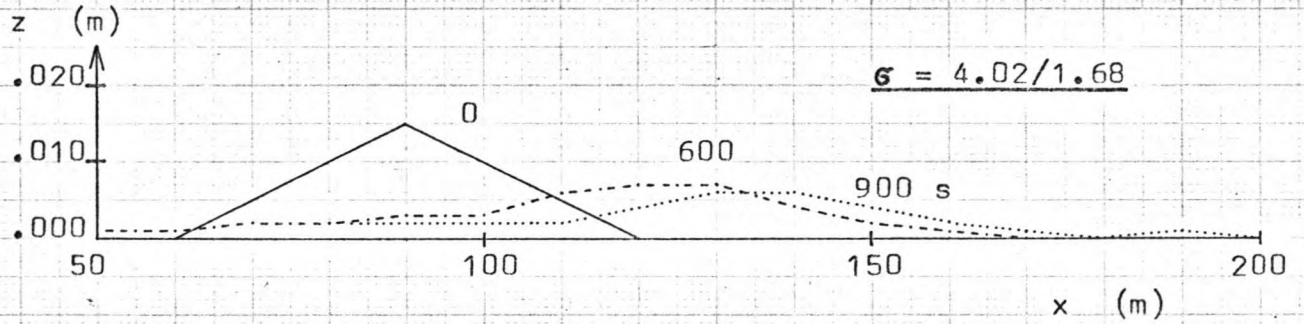
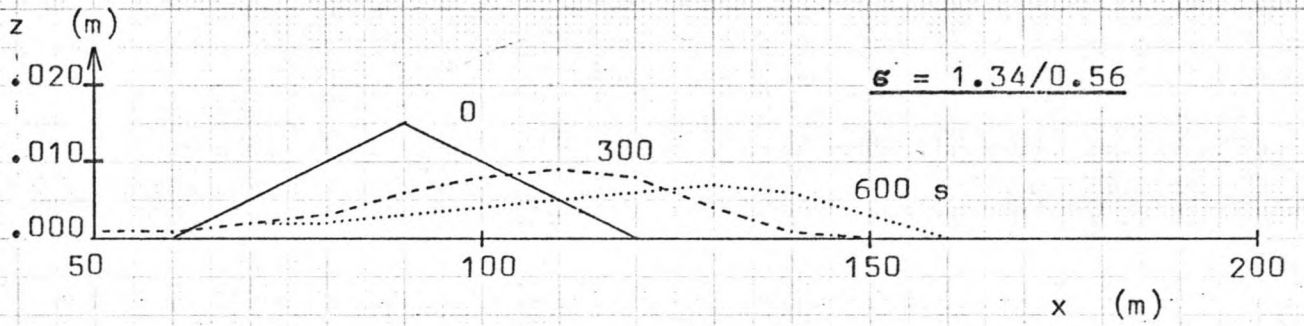
Golfvoortplanting.





BIJLAGE 5.5

Voortplanting bodemstoring.



BIJLAGE 5.6

Computerprogramma.

Het programma (zie blz. 5.12 e.v.) bestaat uit de volgende onderdelen:

- 001-003 declaraties
- 004-028 inlezen en berekenen vaste termen
- 029-031 declaratie arrays
- 032-043 declaratie procedures
- 044-093 uitvoer ingelezen waarden
- 094-099 inlezen beginvoorwaarden
- 100-104 berekening vaste bodem
- 105-131 uitvoer vaste bodem
- 132-182 uitvoer beginvoorwaarden
- 183-208 plotprogramma, tekenen van de coördinaatassen
- 209-214 nieuwe waarden worden oude waarden
- 215 label
- 216 berekening nieuwe tijdstip
- 217-375 Newton-Raphson proces
  - 217 eerste iteratie
  - 218-223 berekening termen afh. van oude tijdstip
  - 224 label
  - 225-227 array A nul maken
  - 228-314 invullen array A
  - 315-316 array B nul maken
  - 317-334 invullen array B
  - 335-337 NAG-routine F01 BMA en F04 AVA
  - 339-375 verbeterde waarden en afbreekcriterium
- 376-385 aanpassing aan de vaste bodem
- 386-390 sedimentbalans
- 391-396 oude waarden worden nieuwe waarden
- 397-461 uitvoer
- 462-471 plotprogramma, bodemhoogte en waterdiepte
- 472-475 einde berekening
- 476 label
- 477-482 einde programma

Toelichting:

Het hoofdgedeelte van het programma bestaat uit het oplossen van een stelsel van N lineaire vergelijkingen met N onbekenden

in de vorm  $A \cdot \vec{x} = \vec{B}$  waarin A een bandmatrix is (217-375). Voor de oplossing is gebruik gemaakt van de NAG-routines F01 BMA (LU decompositie) en F04 AVA. Als afbreekcriterium voor het Newton-Raphson proces is gesteld, dat in alle punten de laatst berekende waarden van u, a en z minder dan een halve millimeter moeten verschillen van de berekende waarden in de stap daarvoor.

Op ieder tijdstip wordt gecontroleerd of de berekende bodemhoogte kleiner is dan de vaste bodem van de zandvang. Is dit het geval dan wordt als nieuwe bodemhoogte de hoogte van de vaste bodem aangenomen en de waterdiepte en stroomsnelheid worden aangepast, terwijl het sedimenttransport ter plaatse van de aanpassing voor de rest van de berekening nul gesteld wordt (376-385). Deze aanpassing aan de vaste bodem betekent dat men numeriek zand bijmaakt. De totale hoeveelheid hiervan wordt bijgehouden in een sedimentbalans (386-390).

. N.B. De programma ponskaarten en de complete uitvoer is opgeborgen bij de vakgroep Vloeistofmechanica.

```

5 COMPILER VERSION : RATCH
6 OPTIONS IN EFFECT : SIZE(KBYTES)= 154, IOL= 6, SEG=SEGM,
7 FBCDIC(ER), NOIDLST, LOAD(L), LONG(LP), OPTO, NOPAG,
8 SE, SOURCE(S), NST, SWAPO, TEST(T), W, NODUMP

```

```

10 'BEGIN'
11
12 'COMMENT' H, J, VAN IEPEREN - LEGEN VAN EEN ZANDVANG?
13 'REAL' UC, AA, DEB,
14 G, W1,
15 CMAX, UIT, BERG,
16 ITT, MM, GG,
17 L, H, K, TAF, TPL, TEB,
18 I, J, R, Q,
19 NM, M2, IR,
20 W, TFL,
21 P, T,
22 S, X,

```

```

23 'COMMENT' I INLEZEN EN BEREKENEN
24 'REAL' (0, CY) );
25 'REAL' (0, UC) );
26 'REAL' (0, AA) );
27 'REAL' (0, DEB) );
28 'INTEGER' (0, L) );
29 'INTEGER' (0, H) );
30 'INTEGER' (0, K) );
31 'INTEGER' (0, TAF) );
32 'INTEGER' (0, TPL) );
33 'INTEGER' (0, TEB) );
34 'REAL' (0, WM) );
35 'INTEGER' (0, TT) );
36 'REAL' (0, T) );
37 'REAL' (0, T1) );
38 GG := H / (2 * TT * K) );
39 NN := 3 * (L / H + 1) );
40 W1 := G * H / (2 * CY ** 2) );
41 IN := 0;
42 UIT := 0;
43 BERG := 0;
44 M1 := 4;
45 M2 := 3;
46 IR := 1;
47 W := M1 + M2 + 1;
48 E := 4;
49 'BEGIN' 'ARRAY'
50 'REAL' 'A (/ : N, I, W / )',
51 'AL (/ : N, I, M1 / )',
52 'B (/ : N, I, IR / )',

```

```

VAN VASTE TERMEN:
COEFFICIENT VAN CHEZY:
STROMINGSNELHEID S=AA*U**BB:
INGFLA CIEN DEBET:
LENGTE ZANDVANG:
STAPGROOTTE X-RICHTING:
TYDSTAP PLOTTE T-RICHTING:
TYDSTAP PLOTTE RYKKE:
AFVOERCOEFFICIENT:
AFVONSTANTE IN PREISSMAN SCHEMA:
TYD:
VERSNELLING ZWAARTEKPACHT:
NUMERIEKE VOORTPLANTINGSSNELHEID:
AANTAL PUNTEN MAAL DRIE:
TERMIN V.M. WEFERSTAND:
TERMIN DE SEDIMENTBALANS:
TERMIN DE SEDIMENTBALANS:

```

```

30 S, V (/1:N/3/), S
30 G1, G2, G3 (/1:N/3-1/),
30 XP, ZP (/1:N/3+2/),
30 D (/O:E/),
30 REZ, IMZ (/1:F/),
30 U, UN (/1:N/3/),
30 Y, YN (/1:N/3/),
30 Z, ZN (/1:N/3/),
30 IINTEGER IARRAY IINT (/1:N/);
31 IPROCEDURE F01RMA(N,M1,M2,A,AL,INT,M,IFAIL);
32 IVALUEI N,M1,M2;
33 IINTEGER I N,M1,M2,M,IFAIL;
34 IINTEGER IARRAY IINT;
35 IREAL IARRAY I A,AL;
36 ICODE I;
37 IPROCEDURE F04AVA(N,M1,M2,IR,A,AL,INT,B);
38 IVALUEI N,M1,M2,IR;
39 IINTEGER I N,M1,M2,IR;
40 IINTEGER IARRAY I INT;
41 IREAL IARRAY I A,AL,B;
42 ICODE I;
43 ICOMMENT I UITVOER INGELEZEN WAARDEN;
43 SETTING (1,132,60);
44 OUTSTRING (1, '(IC = '));
45 FLO (1,3,3,CY);
46 OUTSTRING (1, '(M**(1/2)/S)');
47 LINE (1,1);
48 OUTSTRING (1, '(IUC = '));
49 FLO (1,3,3,UC);
50 OUTSTRING (1, '(M/S)');
51 LINE (1,1);
52 OUTSTRING (1, '(ALFA = '));
53 FLO (1,3,3,AA);
54 OUTSTRING (1, '(I-));
55 LINE (1,1);
56 OUTSTRING (1, '(IDEB = '));
57 FLO (1,3,3,DEB);
58 OUTSTRING (1, '(M**2/S)');
59 LINE (1,1);
60 OUTSTRING (1, '(IL = '));
61 FLO (1,3,3,L);
62 OUTSTRING (1, '(M)');
63 LINE (1,1);
64 OUTSTRING (1, '(IH = '));
65 FLO (1,3,3,H);
66 OUTSTRING (1, '(M)');
67 LINE (1,1);
68 OUTSTRING (1, '(IK = '));
69 FLO (1,3,3,K);
70 OUTSTRING (1, '(IS)');
71 LINE (1,1);
72 OUTSTRING (1, '(TAF = '));

```

```

73 FLO (1,3,3,IAF);
74 OUTSTRING (1,1('S')));
75 LINE (1,1);
76 OUTSTRING (1,1('TPL = '));
77 FLO (1,3,3,TPL);
78 OUTSTRING (1,1('S')));
79 LINE (1,1);
80 OUTSTRING (1,1('TEB = '));
81 FLO (1,3,3,TEB);
82 OUTSTRING (1,1('S')));
83 LINE (1,1);
84 OUTSTRING (1,1('MU = '));
85 FLO (1,3,3,MM);
86 OUTSTRING (1,1(' '));
87 LINE (1,1);
88 OUTSTRING (1,1('TETA = '));
89 FLO (1,3,3,TT);
90 OUTSTRING (1,1(' '));
91 LINE (1,3);
92 PAGE (1);
93 'COMMENT' INLEZEN BEGINVOORWAARDEN;
94 'FOR' R:=1 'STEP' 1 'UNTIL' N/3 'DO'
95 'REGIN' (O,U(/R/)); 'COMMENT' STROOMSNELHEID;
96 'INREAL (O,Y(/R/)); 'COMMENT' WATERDIEPTIE;
97 'INREAL (O,Z(/R/)); 'COMMENT' BODEMHOOGTE;
98 'END';
99
100 'COMMENT' BEREKENING VASTE BODEM;
101 'FOR' R:=1 'STEP' 1 'UNTIL' N/3 'DO'
102 V(/R/):=Z(/1/)-2*G*(R-1)*H/(MM*CY**2);
103 'FOR' R:=1 'STEP' 1 'UNTIL' N/3 'DO'
104 S(/1/):=A;
105 'COMMENT' UITVOER VASTE BODEM;
106 OUTSTRING (1,1('LIGGING VAN DE VASTE BODEM')));
107 LINE (1,2);
108 'FOR' R:=1 'STEP' 10 'UNTIL' N/3 'DO'
109 'REGIN'
110 OUTSTRING (1,1('X='));
111 'FOR' Q:=1 'STEP' J 'UNTIL' 10 'DO'
112 'IF' (R+Q-1)>(N/3) 'THEN' 'GOTO' A00;
113 X:=(R+Q-2)*H;
114 AFIX (1,3,3,X);
115 BLANK (1,1);
116 'END';
117 A00:
118 LINE (1,2);
119 OUTSTRING (1,1('Z='));
120 'FOR' Q:=1 'STEP' 1 'UNTIL' 10 'DO'
121 'REGIN'
122 'IF' (R+Q-1)>(N/3) 'THEN' 'GOTO' AEO;

```

```

124 FIX (1,3,3,V/(R+Q-1));
125 BLANK (1,1);
126 'END';
127 AEO: (1,3);
128 LINE (1,3);
129 'END';
130 PAGE (1);
131 'COMMENT';
132 'UITVOER BEGINVOORWAARDEN';
133 'REGIN';
134 OUTSTRING (1,('TYD='));
135 AFIX (1,6,0,T);
136 OUTSTRING (1,('SECONDEN')));
137 LINE (1,2);
138 'FOR' R:=1 'STEP' 10 'UNTIL' N/3 'DO';
139 'REGIN';
140 OUTSTRING (1,('X='));
141 'FOR' Q:=1 'STEP' 1 'UNTIL' 10 'DO';
142 'REGIN';
143 'IF' (R+Q-1)>(N/3) 'THEN' 'GOTO' AUL;
144 X:= (R + Q - 2)*H;
145 AFIX (1,3,3,X);
146 BLANK (1,1);
147 'END';
148 AUL: (1,2);
149 LINE (1,2);
150 OUTSTRING (1,('U='));
151 'FOR' Q:=1 'STEP' 1 'UNTIL' 10 'DO';
152 'REGIN';
153 'IF' (R+Q-1)>(N/3) 'THEN' 'GOTO' AYL;
154 FIX (1,3,3,U/(R+Q-1));
155 BLANK (1,1);
156 'END';
157 AYL: (1,1);
158 LINE (1,1);
159 OUTSTRING (1,('A='));
160 'FOR' Q:=1 'STEP' 1 'UNTIL' 10 'DO';
161 'REGIN';
162 'IF' (R+Q-1)>(N/3) 'THEN' 'GOTO' AZL;
163 FIX (1,3,3,Y/(R+Q-1));
164 BLANK (1,1);
165 'END';
166 AZL: (1,1);
167 LINE (1,1);
168 OUTSTRING (1,('Z='));
169 'FOR' Q:=1 'STEP' 1 'UNTIL' 10 'DO';
170 'REGIN';
171 'IF' (R+Q-1)>(N/3) 'THEN' 'GOTO' AEL;
172 FIX (1,3,3,Z/(R+Q-1));
173 BLANK (1,1);
174 'END';
175 AEL: (1,3);
176 LINE (1,3);
177 'END';
178 PAGE (1);

```

```

181 'END!';
182 'COMMENT! PLOTPROGRAMMA, TEKENEN VAN DE COORDINAATASSEN!';
183 P:=N/3;
184 XP(/1/):=0;
185 'FOR! R:=2 'STEP! 1 'UNTIL' N/3 'DO'
186 'XP(/R/):=XP(/R-1/) + H;
187 'FOR! R:=1 'STEP! 1 'UNTIL' N/3 'DO'
188 'ZP(/R/):=Z(/R/);
189 PLOTS (1,25);
190 FACTOR (XP,10,P,1);
191 AXES (0,0,1('METER')), -5,10, 0,XP(/P+1/),XP(/P+2/));
192 'FOR! R:=1 'STEP! 1 'UNTIL' P 'DO'
193 'XP(/R/):=XP(/R/)*2.5;
194 'ZP(/1/):=Z(/1/) + Y(/1/);
195 'ZP(/P/):=V(/P/);
196 SCALE (7P,12,P,1);
197 AXES (0,0,1('METER')), 5,12,90,ZP(/P+1/),ZP(/P+2/));
198 'FOR! R:=1 'STEP! 1 'UNTIL' P 'DO'
199 'XP(/R/):=XP,ZP,P,1,0,64);
200 'ZP(/1/):=Z(/1/);
201 'ZP(/P/):=Z(/P/);
202 LINES (XP,ZP,P,1,0,64);
203 'FOR! R:=1 'STEP! 1 'UNTIL' P 'DO'
204 'ZP(/R/):=Z(/R/) + Y(/R/);
205 LINES (XP,ZP,P,1,0,64);
206 'FOR! R:=1 'STEP! 1 'UNTIL' P 'DO'
207 'ZP(/R/):=V(/R/);
208 LINES (XP,ZP,P,1,0,64);
209
210 'FOR! R:=1 'STEP! 1 'UNTIL' N/3 'DO'
211 'BEGIN!
212 UN(/R/):=U(/R/);
213 YN(/R/):=Y(/R/);
214 ZN(/R/):=Z(/R/);
215 'END!';
216
217 MARGARETHA;
218 T:=T+K;
219
220 'COMMENT! NEWTON-RAPHSON PROCES;
221 TEL:=1;
222 'FOR! R:=1 'STEP! 1 'UNTIL' N/3-1 'DO'
223 'BEGIN!
224 G1(/R/):=#+ GG
225 + (U(/R+1/)) * (U(/R+1/))
226 + (1-1/TT)*(U(/R+1/))**2**Y(/R+1/))
227 + (G/2)*(1-1/TT)*(Y(/R+1/))**2
228 + (G/2)*(1- TT)*(Y(/R+1/))
229 + (1-1/TT)*(Z(/R+1/))
230 + W) *(1-1/TT)*(U(/R+1/))**2+J(/R/)**2);

```



```

220 G2(/R/):= (1-1/TT)*(U(/R+1/))*Y(/R+1/) - U(/R /)*Y(/R / )
221 + GG*(Y(/R+1/) + Z(/R /))
222 + Z(/R+1/) + Z(/R /))
223 G3(/R/):= (1-1/TT)*(S(/R+1/))*U(/R+1/)-UC)**5
224 - S(/R /)*U(/R /)-UC)**5
225 'END':
226 + GG*(Z(/P+1/) + Z(/R /)):
227
228 MARIA:
229 'FOR' I:=1 'STEP' 1 'UNTIL' N 'DO'
230 'FOR' J:=1 'STEP' 1 'UNTIL' W 'DO'
231 A(/I,J/):= 0;
232
233 'COMMENT' INVULLEN VAN ARRAY A:
234 A(/1,1/):= YN(/1/);
235 A(/1,2/):= 0;
236 A(/1,3/):= 0;
237 A(/1,4/):= 0;
238 A(/2,1/):= 0;
239 A(/2,2/):= 1;
240 A(/2,3/):= 0;
241 A(/2,4/):= 0;
242 A(/2,5/):= 0;
243 A(/3,1/):= GG*YN(/1/) - 2*UN(/1/) * YN(/1/) + W1 * 2*UN(/1 /);
244 A(/3,2/):= GG*UN(/1/) + (G/2)* (ZN(/1 /) - ZN(/1 /)) - ZN(/1 /);
245 A(/3,3/):= (G/2)* (TT*(1-1/TT)*(ZN(/2 /) - ZN(/1 /)) + YN(/2 /)) + YN(/2 /);
246 A(/3,4/):= (1- TT)*(YN(/2 /)*YN(/2 /)) + W1 * 2*UN(/2 /);
247 A(/3,5/):= GG*YN(/2 /) + UN(/2 /)*YN(/2 /)**2 + (G/2)*2*YN(/2 /);
248 A(/3,6/):= (G/2)* (TT*(1-1/TT)*(ZN(/2 /) - ZN(/1 /)) + YN(/2 /)) - ZN(/1 /);
249 A(/4,1/):= -YN(/1/);
250 A(/4,2/):= -UN(/1/);
251 A(/4,3/):= +GG;
252 A(/4,4/):= +YN(/2/);
253 A(/4,5/):= +UN(/2/);
254 A(/4,6/):= 0;
255 A(/N,1/):= 0;
256 A(/N,2/):= 0;
257 A(/N,3/):= 0;
258 A(/N,4/):= 1;
259 A(/N,5/):= 0;
260 'COMMENT' TERMFN VAN DE BEWEGINGSVERGELYKING:
261 'FOR' I:=6 'STEP' 3 'UNTIL' N-3 'DO'
262 'REGIM'
263 R:= 1/3;
264 J:= 1;

```

```

258 A(/I,J/):= 0;
259 J:= J+1;
260 A(/I,J/):= 0;
261 J:= J+1;
262 A(/I,J/):= GG*YN(/R/) - 2*UN(/R/)*YN(/R/) + W1 *2*UN(/R/);
263 J:= J+1;
264 A(/I,J/):= GG*UN(/R/) - UN(/R/)**2 + (G/2)*2*YN(/R/);
265 J:= J+1;
266 A(/I,J/):= TT*(I-1/TT)*(Z(/R+1/)) - Z(/R/);
267 J:= J+1;
268 A(/I,J/):= +(G/2)*(-TT (I- TT)*(Y(/R+1/)) + YN(/R/));
269 J:= J+1;
270 A(/I,J/):= GG*YN(/P+1/) + 2*UN(/R+1/)*YH(/R+1/) + W1 *2*UN(/R+1/);
271 J:= J+1;
272 A(/I,J/):= GG*UN(/R+1/) + UN(/R+1/)**2 + (G/2)*2*YN(/R+1/);
273 J:= J+1;
274 A(/I,J/):= +(G/2)*(-TT*(I-1/TT)*(Z(/R+1/)) - Z(/R/));
275 J:= J+1;
276 A(/I,J/):= +(G/2)*(+TT (I- TT)*(Y(/R+1/)) + YN(/R/));
277 J:= J+1;
278 A(/I,J/):= 0;
279 J:= J+1;
280 A(/I,J/):= -YN(/R/);
281 J:= J+1;
282 A(/I,J/):= -UN(/R/) + GG;
283 J:= J+1;
284 A(/I,J/):= +GG;
285 J:= J+1;
286 A(/I,J/):= +YN(/P+1/);
287 J:= J+1;
288 A(/I,J/):= +UN(/R+1/) + GG;
289 J:= J+1;
290 A(/I,J/):= +GG;
291 J:= J+1;
292 A(/I,J/):= 0;
293 J:= J+1;
294 A(/I,J/):= 0;
295 J:= J+1;
296 A(/I,J/):= -5*S(/R/)*(UN(/R/)-UC)**4;
297 J:= J+1;
298 A(/I,J/):= 0;
299 J:= J+1;
300 A(/I,J/):= +GG - GG*ABS(S(/R+1/))-S(/R/)/AA;
301 J:= J+1;
302 A(/I,J/):= 0;

```

COMMENT: TERMEN VAN DE CONT. VGL: WATER + SEDIMENT;

FOR I:=7 'STEP' 3 'UNTIL' N-2 'DO';

IFOR I:=7 'STEP' 3 'UNTIL' N-2 'DO';

R:= (I-1)/3;

J:= J+1;

A(/I,J/):= 0;

J:= J+1;

A(/I,J/):= -YN(/R/);

J:= J+1;

A(/I,J/):= -UN(/R/) + GG;

J:= J+1;

A(/I,J/):= +GG;

J:= J+1;

A(/I,J/):= +YN(/P+1/);

J:= J+1;

A(/I,J/):= +UN(/R+1/) + GG;

J:= J+1;

A(/I,J/):= +GG;

J:= J+1;

A(/I,J/):= 0;

J:= J+1;

A(/I,J/):= 0;

COMMENT: TERMEN VAN DE CONT. VGL: VOOR SEDIMENT;

FOR I:=5 'STEP' 3 'UNTIL' N-1 'DO';

IFOR I:=5 'STEP' 3 'UNTIL' N-1 'DO';

R:= (I-2)/3;

J:= J+1;

A(/I,J/):= -5\*S(/R/)\*(UN(/R/)-UC)\*\*4;

J:= J+1;

A(/I,J/):= 0;

J:= J+1;

A(/I,J/):= +GG - GG\*ABS(S(/R+1/))-S(/R/)/AA;

J:= J+1;

A(/I,J/):= 0;



```

334 IFAIL:= 0;
335 F0J8MA(N,M1,M2,A,AL,INT,M,IFAIL);
336 F04AVA(N,M1,M2,IR,A,AL,INT,B);
337 !IF !IFAIL=0 !THEN
338 !BEGIN
339 !COMMENT! BEREKENING VAN DE VERBETERDE WAARDEN;
340 !FOR !R:=1 !STEP 1 !UNTIL !N/3 !DO
341 UN(/R/):= UN(/R/) + B(/3*R-2,1/);
342 YN(/R/):= YN(/R/) + B(/3*R-1,1/);
343 ZN(/R/):= ZN(/R/) + B(/3*R ,1/);
344 !END!
345 !COMMENT! AFREDEKRIERIUM;
346 CMAX:= ABS(H(/1,1/));
347 !FOR !I:=1 !STEP 1 !UNTIL !N !DO
348 !IF !ABS(B(/I,1/))>CMAX !THEN !CMAX:=ABS(B(/I,1/));
349 !END!
350 !IF !CMAX>=0.0005 !THEN
351 !BEGIN !TEL + 1;
352 !IF !TEL=1 !THEN
353 !IF !TEL=1 !BEGIN
354 !TEL:=TEL-1;
355 !OUTSTRING(1,1,('HET NEWTON-RAPHSON PROCES IS AFGEROKEN '));
356 !OUTSTRING(1,1,('IN DAT HET'));
357 !AFIX(1,2,0,TEL);
358 !OUTSTRING(1,1,('KEER IS DOORLOPEN'));
359 !LINE(1,2);
360 !OUTARRAY(1,R);
361 !LINE(1,1);
362 !OUTARRAY(1,UN);
363 !LINE(1,1);
364 !OUTARRAY(1,YN);
365 !LINE(1,1);
366 !OUTARRAY(1,ZN);
367 !LINE(1,1);
368 !OUTARRAY(1,ZN);
369 !LINE(1,3);
370 !GOTO !EINDE;
371 !END!
372 !GOTO !MARIA;
373 !END!
374
375 !COMMENT! AANPASSING AAN DE VASTE BODEM;
376 !FOR !R:=1 !STEP 1 !UNTIL !N/3 !DO
377 !IF !ZN(/R/)<V(/R/) !THEN
378 YN(/R/):=ZN(/R/)+YN(/R/)-V(/R/);
379 UN(/R/):=OFB/YN(/R/);
380 ZN(/R/):=V(/R/);
381 S(/R/):= 0;
382 !END!
383 !END!
384
385

```

```

385 'COMMENT' SEDIMENTRALS: IN=UIT+BERG;
386 UIT := UIT + S(/N/3/)*IT*(UN(/N/3/)-UC)**5 +
387 (J-IT)*(U(/N/3/)-UC)**5)*K;
388 BERG := BERG + (ZN(/1/)-Z(/1/)) +
389 ZN(/N/3/)-Z(/N/3/))*H/2;
390 'FOR' R:=2 'STEP' 1 'UNTIL' N/3 'DO'
391 'BEGIN'
392 U(/R/):=UN(/R/);
393 Y(/R/):=YN(/R/);
394 Z(/R/):=ZN(/R/);
395 'END';
396 'COMMENT' UITVOER;
397 'IF' TETA F 'THEN'
398   OUTSTRING (1,('TYD='));
399   AFIX (1,6,0,T);
400   OUTSTRING (1,('SECONDEN')));
401 'FOR' R:=1 'STEP' 10 'UNTIL' N/3 'DO'
402 'BEGIN'
403   OUTSTRING (1,('X='));
404   'FOR' Q:=1 'STEP' 1 'UNTIL' 10 'DO'
405   'BEGIN'
406     'IF' (R+Q-J)>(N/3) 'THEN' 'GOTO' AU2;
407     X := (R + Q - 2)*H;
408     AFIX (1,3,3,X);
409     BLANK (1,1);
410     'END';
411   'END';
412   AU2:
413     LINE (1,2);
414     OUTSTRING (1,('U='));
415     'FOR' Q:=1 'STEP' 1 'UNTIL' 10 'DO'
416     'BEGIN'
417       'IF' (R+Q-1)>(N/3) 'THEN' 'GOTO' AY2;
418       FIX (1,3,3,U(/R+Q-1/));
419       BLANK (1,1);
420       'END';
421     AY2:
422       LINE (1,1);
423       OUTSTRING (1,('A='));
424       'FOR' Q:=1 'STEP' 1 'UNTIL' 10 'DO'
425       'BEGIN'
426         'IF' (R+Q-1)>(N/3) 'THEN' 'GOTO' AZ2;
427         FIX (1,3,3,Y(/R+Q-1/));
428         BLANK (1,1);
429         'END';
430       AZ2:
431         LINE (1,1);
432         OUTSTRING (1,('Z='));
433         'FOR' Q:=1 'STEP' 1 'UNTIL' 10 'DO'

```

```

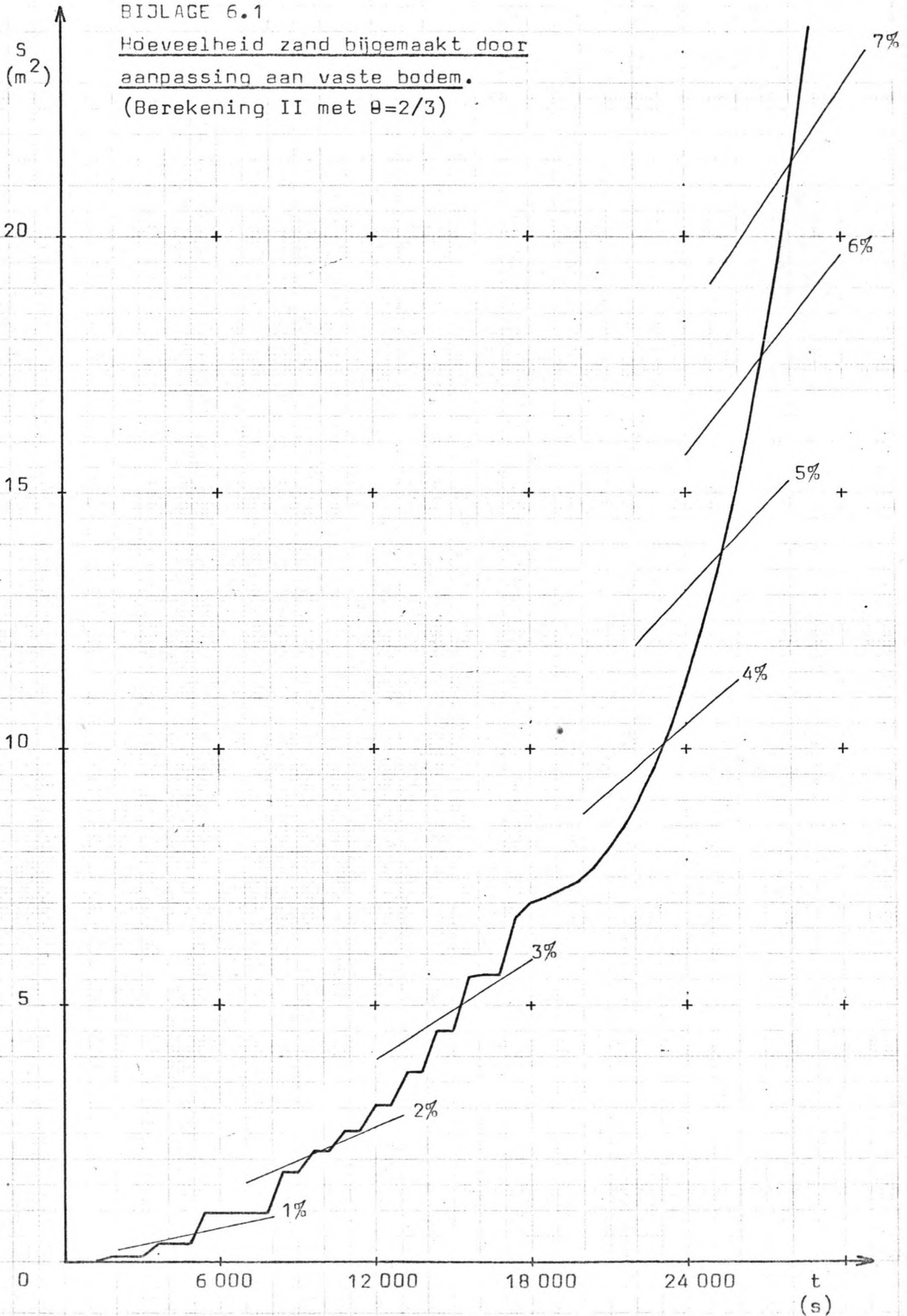
437 'BEGIN'
438 'IF' (R+Q-1)>(N/3) 'THEN' 'GOTO' AE2;
440 'FIX' (1,3,3,Z(/R+Q-1));
441 'BLANK' (1,1);
442 'END';
443 AE2:
444 'LINE' (1,2);
445 'END';
446 'OUTSTRING' (1,('NEWTON-RAPHSON='));
447 'AFIX' (1,3,0,TEL);
448 'LINE' (1,2);
449 'OUTSTRING' (1,('SEDIMENTBALANS: UIT ='));
450 'FIX' (1,6,6,UIT);
451 'LINE' (1,1);
452 'OUTSTRING' (1,(' '));
453 'FIX' (1,6,6,BERG);
454 'LINE' (1,1);
455 'OUTSTRING' (1,(' '));
456 'FIX' (1,6,6,IN);
457 'LINE' (1,3);
458 'PAGE' (1);
459 'TAF:= TAF + 1*K;
460 'END';
461
462 'IF' T=TPL 'THEN'
463 'COMMENT' ' PLOTPROGRAMMA, BODEMHOOGTE EN WATERDIEPTE:
464 'FOR' R:=1 'STEP' 1 'UNTIL' N/3 'DO'
465 'ZP(/R/):= Z(/R/);
466 'LINES' (XP,ZP,P,1,0,64);
467 'FOR' R:=1 'STEP' 1 'UNTIL' N/3 'DO'
468 'ZP(/R/):= Z(/R/) + Y(/R/);
469 'LINES' (XP,ZP,P,1,0,64);
470 'TPL:= TPL + 5*K;
471 'END';
472
473 'IF' T=TEB 'THEN' 'GOTO' EINDE
474 'ELSE' 'GOTO' MARGARETHA;
475
476 EINDE:
477
478 'LASPLO:
479 'OUTSTRING' (1,('BEREKENING GESTOPT BY T='));
480 'AFIX' (1,6,0,T);
481 'OUTSTRING' (1,('SECONDEN'));
482 'LINE' (1,6);
483 'END';

```

BIJLAGE 6.1

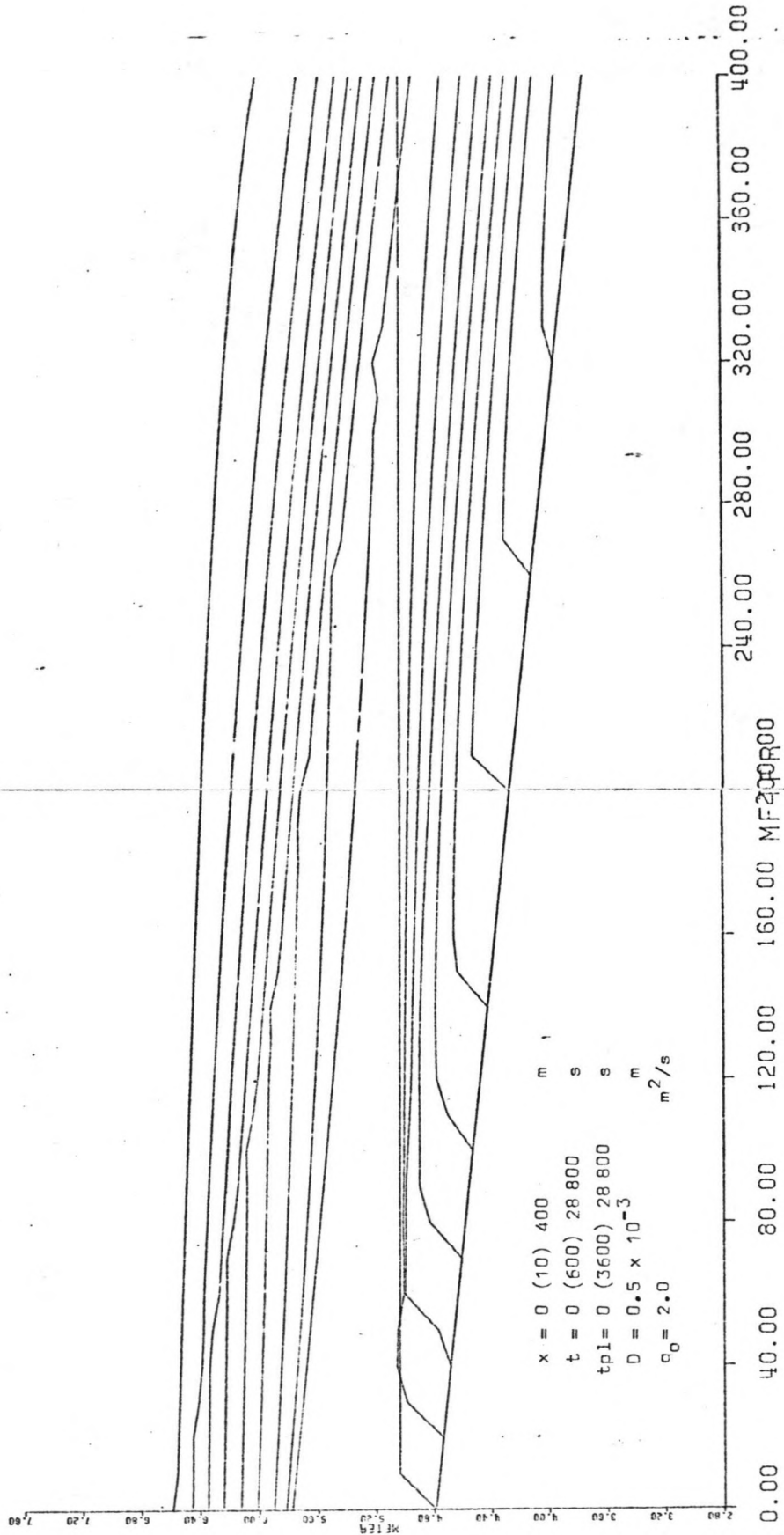
Hoeveelheid zand bijgemaakt door  
aanpassing aan vaste bodem.

(Berekening II met  $\theta=2/3$ )



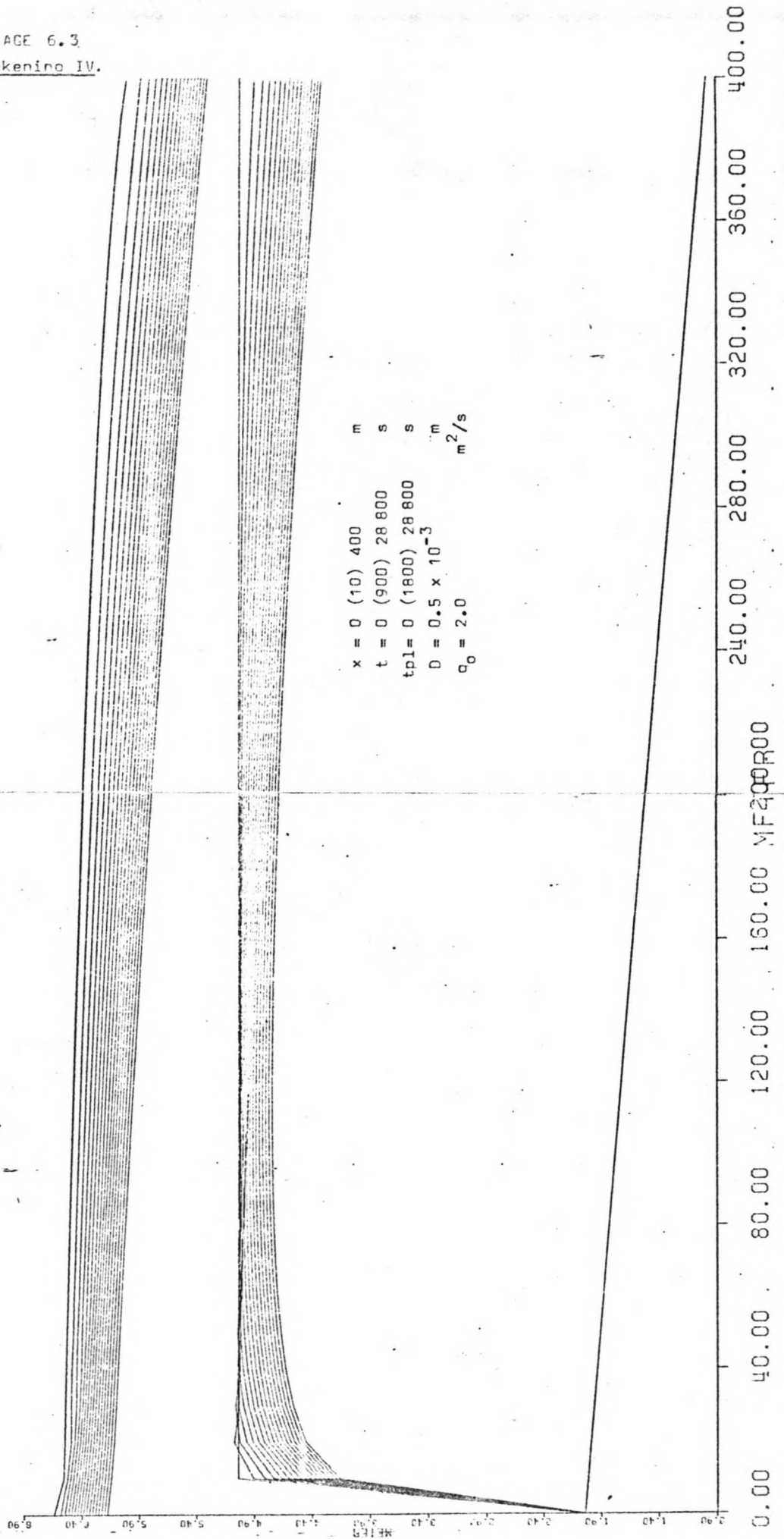
Percentages t.o.v. de reeds verwijderde hoeveelheid zand.

BIDLAGE 6.2  
Berekening II.





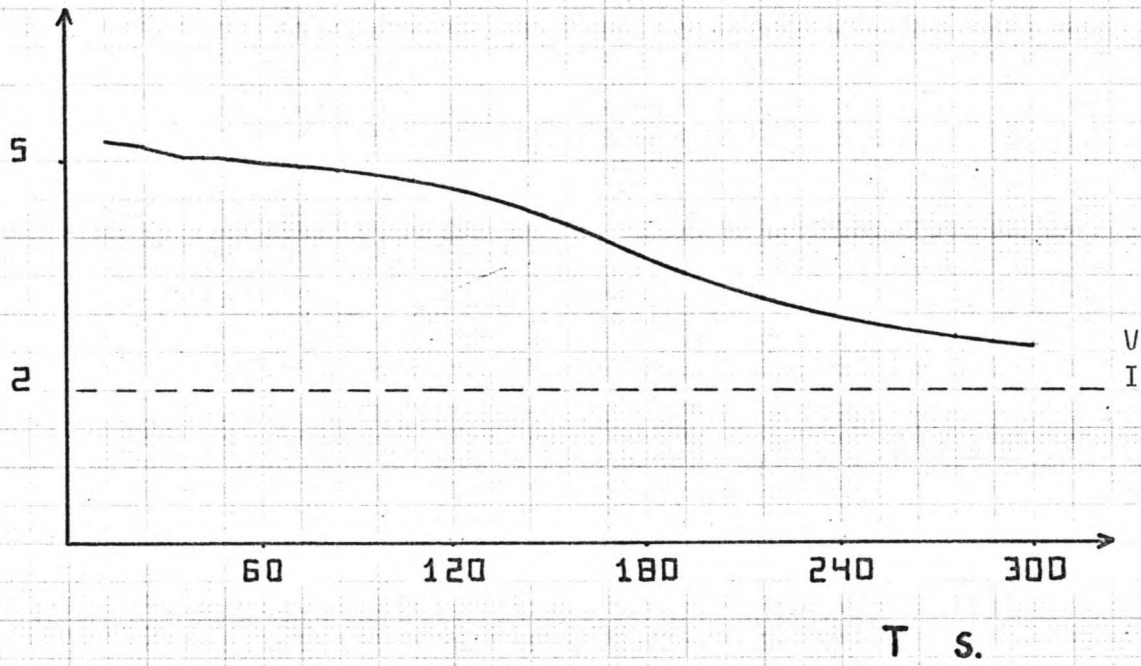
BIJLAGE 6.3  
Berekening IV.



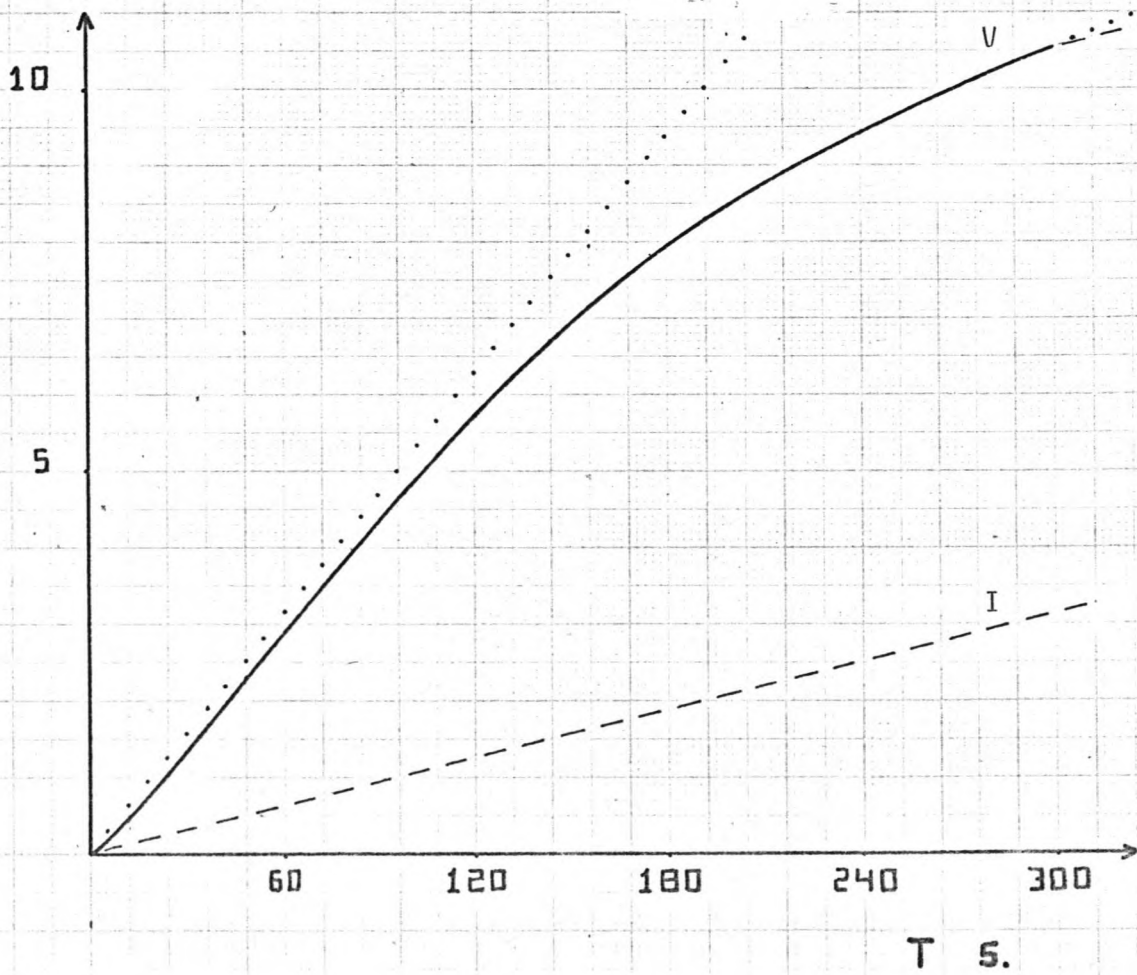
BIJLAGE 6.4

Invloed beginvoorwaarden op debiet en transport.

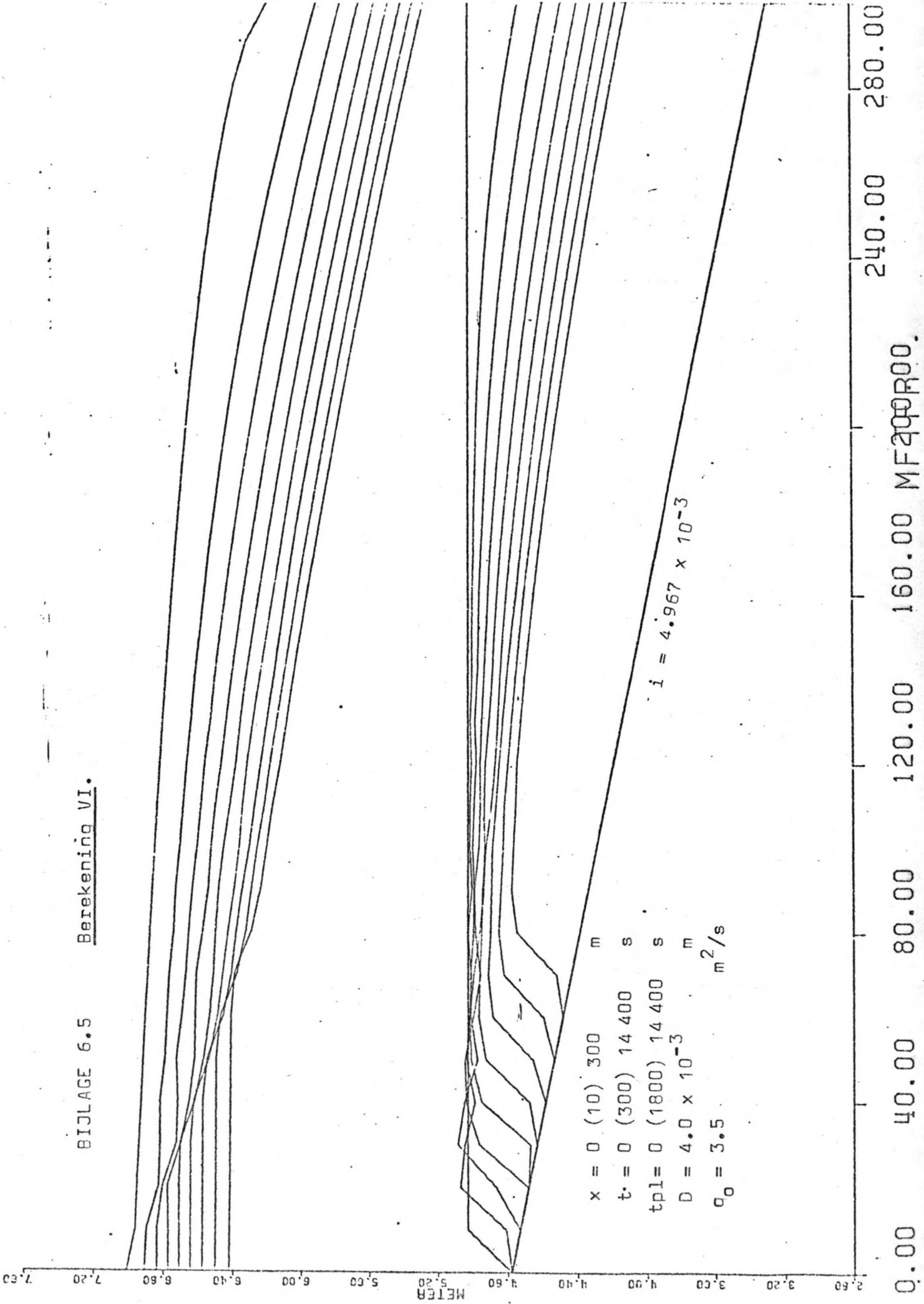
$Q \text{ m}^3/\text{s}$ .



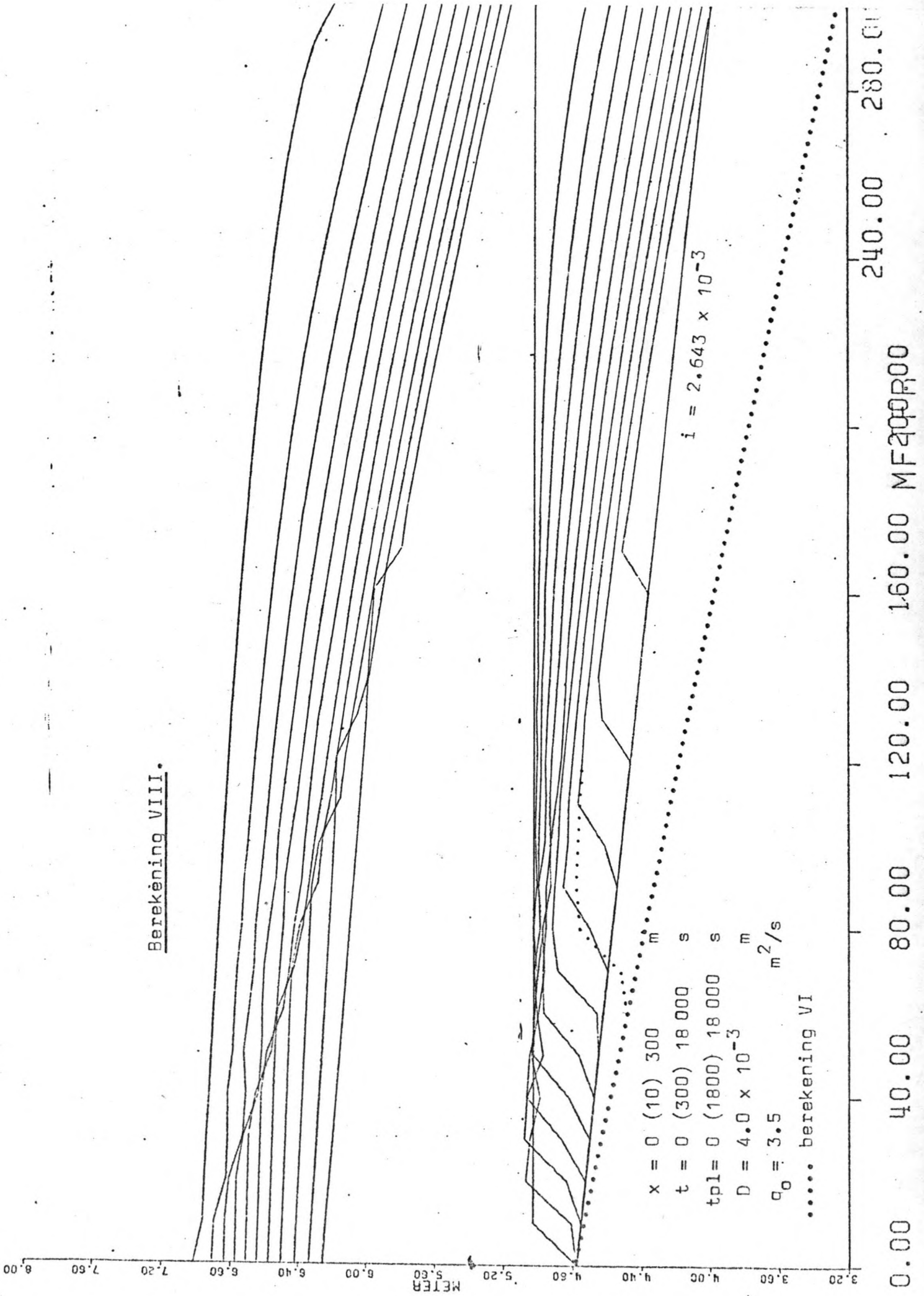
$S \text{ m}^2$ .



BILAGE 6.5 Berekening VI.



Berekening VIII.



0.00      40.00      80.00      120.00      160.00      200.00      240.00      280.00

METER

